



การประยุกต์ใช้การออกแบบการทดลองเพื่อศึกษาอุณหภูมิและเวลาที่มี
ผลกระทบต่อค่าความแข็งของเหล็ก AISI4140 ที่ผ่านการชุบแข็ง

APPLICATION OF EXPERIMENTAL DESIGN TO STUDY THE INFLUENCE
OF TEMPERATURE AND TIME ON THE HARDNESS OF AISI 4140 STEEL
WITH HARDENING

นายพิชิตพงศ์ ปวัญย์ยั่ม รหัส 49363328
นายเอกชัย คำหล้า รหัส 49363403

15060205

ห้องสมุดคณะวิศวกรรมศาสตร์	2/5,
วันที่รับ...../...../.....	
เลขทะเบียน.....15060205.....	วว.6097
เลขเรียกหนังสือ..... 1/5.	2557
มหาวิทยาลัยนเรศวร 76490	
	2557

ปริญญาอนิพนธ์นี้เป็นส่วนหนึ่งของการศึกษาตามหลักสูตรปริญญาวิศวกรรมศาสตรบัณฑิต
สาขาวิศวกรรมอุตสาหการ ภาควิชาวิศวกรรมอุตสาหการ
คณะวิศวกรรมศาสตร์ มหาวิทยาลัยนเรศวร

ปีการศึกษา 2552



ใบรับรองปริญญานิพนธ์

ชื่อหัวข้อโครงการ

การประยุกต์ใช้การออกแบบการทดลองเพื่อศึกษาอุณหภูมิและเวลาที่มีผลกระแทกต่อค่าความแข็งของเหล็ก AISI4140 ที่ผ่านการซุบเย็บ

ผู้ดำเนินโครงการ

นายพิชิตพงษ์ ขวัญเย็น รหัส 49363328

นายเอกชัย คำหล้า รหัส 49363403

ที่ปรึกษาโครงการ

อาจารย์กานต์ ลีวัฒนาเยี่ยงยง

ที่ปรึกษาร่วมโครงการ

อาจารย์กฤษณา พูลสวัสดิ์

สาขาวิชา

วิศวกรรมอุตสาหการ

ภาควิชา

วิศวกรรมอุตสาหการ

ปีการศึกษา

2552

คณะวิศวกรรมศาสตร์ มหาวิทยาลัยราชภัฏเชียงใหม่ อนุมัติให้ปริญญานิพนธ์ฉบับนี้เป็นส่วนหนึ่ง
ของการศึกษาตามหลักสูตรวิศวกรรมศาสตรบัณฑิต สาขาวิชาวิศวกรรมอุตสาหการ

ที่ปรึกษาโครงการ

(อาจารย์กานต์ ลีวัฒนาเยี่ยงยง)

กรรมการ

(ผู้ช่วยศาสตราจารย์ ดร. อภิชัย ฤทธิ์พันธ์)

กรรมการ

(ผู้ช่วยศาสตราจารย์ ศิริกา สินารักษ์)

กรรมการ

(อาจารย์อากาศ พ. จันทร์ปรักษ์)

ชื่อหัวข้อโครงการ	การประยุกต์ใช้การออกแบบการทดสอบเพื่อศึกษาอุณหภูมิและเวลาที่มีผลกระทบต่อค่าความแข็งของเหล็ก AISI 4140 ที่ผ่านการชุบแข็ง		
ผู้ดำเนินโครงการ	นายพิชิตพงศ์ ขวัญเย็น	รหัส 493633328	
	นายเอกชัย คำหล้า	รหัส 49363403	
ที่ปรึกษาโครงการ	อาจารย์กานต์ สิริวัฒนาเยี่ยงยง		
สาขาวิชา	วิศวกรรมอุตสาหการ		
ภาควิชา	วิศวกรรมอุตสาหการ		
ปีการศึกษา	2552		

บทคัดย่อ

บริษัทฯ ได้ศึกษาอิทธิพลของอุณหภูมิและเวลาการอบให้ความร้อนของเหล็ก AISI 4140 ที่มีส่วนผสมของการนองประมาณร้อยละ 0.4 และผ่านการชุบแข็ง โดยทำการทดสอบวัสดุ และวิเคราะห์ผลการทดสอบด้วยวิธีทางสถิติ เพื่อหาความสัมพันธ์ระหว่างอุณหภูมิและเวลา ในกระบวนการอบให้ความร้อนที่มีผลต่อค่าความแข็งของเหล็ก AISI 4140 หลังผ่านการชุบแข็ง

ผลของการศึกษาพบว่า เหล็กชิ้นงานที่ทำการอบให้ความร้อนที่เวลา 60, 90 และ 120 นาที และอุณหภูมิ 850, 950 และ 1,050 องศาเซลเซียส มีค่าความแข็งเพิ่มขึ้น และพบว่าชิ้นงานจะมีความแข็งลดลงเมื่อ เวลาและอุณหภูมิเพิ่มขึ้น ดังนั้นจึงสรุปได้ว่า อุณหภูมิและเวลาที่เปลี่ยนไปมีผลต่อค่าความแข็งของเหล็ก AISI 4140 หลังผ่านการชุบแข็ง

กิตติกรรมประกาศ

ปริญญา尼พนธ์ฉบับนี้สำเร็จลุล่วงด้วยความช่วยเหลืออย่างศรีของอาจารย์
กานต์ ลีวัฒนาเชิงยงและอาจารย์กฤณา พูลสวัสดิ์ อาจารย์ที่ปรึกษาปริญญา尼พนธ์ที่ได้ให้
คำแนะนำและความคิดเห็นต่างๆ ในการทำโครงการมาโดยตลอด และยังช่วยให้แนวทางในการทำ
การทดลองที่ถูกต้อง

นอกจากนี้ยังมีผศ.ดร.เกตุจันทร์ จำปาไชยศรี ที่เคยให้คำปรึกษาในการทำโครงการ และ
อาจารย์ภาควิชาศึกษาธิการอุดสาหการทุกท่าน รวมถึงครูช่างในภาควิชาศึกษาธิการอุดสาหการทุก
ท่านที่ช่วยเหลือและอนุเคราะห์วัสดุและอุปกรณ์ในการดำเนินโครงการมาโดยตลอด

ทั้งนี้ผู้เขียนขอกราบขอบพระคุณบิดามารดา ซึ่งสนับสนุนในด้านการเงินและกำลังใจ
ให้แก่ผู้เขียนในการทำโครงการจนสำเร็จการศึกษา

คณะผู้ดำเนินโครงการวิศวกรรม

นายพิชิตพงษ์ ขวัญเย็น

นายเอกชัย คำหล้า

มีนาคม 2553



สารบัญ

หน้า

ใบรับรองปริญญาบัณฑิต.....	ก
บทคัดย่อภาษาไทย.....	ข
กิตติกรรมประกาศ.....	ค
สารบัญ.....	ง
สารบัญตาราง.....	น
สารบัญรูป.....	อ

บทที่ 1 บทนำ.....	1
-------------------	---

1.1 ความเป็นมาและความสำคัญของโครงการ.....	1
1.2 วัสดุประสงค์ของโครงการ.....	1
1.3 เกณฑ์วัดผลงาน (Output).....	1
1.4 เกณฑ์วัดผลสำเร็จ (Outcome).....	1
1.5 ขอบเขตการทำโครงการ.....	2
1.6 สถานที่ในการดำเนินการวิจัย.....	2
1.7 ระยะเวลาในการดำเนินการวิจัย.....	2
1.8 ขั้นตอนและแผนการดำเนินงาน (Gantt Chart).....	2

บทที่ 2 หลักการและทฤษฎี.....	3
------------------------------	---

2.1 เหล็กกล้าคาร์บอน.....	3
2.2 เหล็ก AISI 4140.....	9
2.3 การชุบแข็ง.....	10
2.4 การวัดค่าความแข็ง.....	14
2.5 การออกแบบการทดสอบแบบสองปัจจัย.....	18
2.6 การวิเคราะห์ความแปรปรวน.....	20
2.7 การวิเคราะห์การดัดดอย.....	24
2.8 เอกสารและงานวิจัยที่เกี่ยวข้อง.....	27

สารบัญ (ต่อ)

	หน้า
บทที่ 3 วิธีดำเนินโครงการ	28
3.1 ศึกษาและรวบรวมข้อมูล.....	28
3.2 การออกแบบการทดลอง	28
3.3 การดำเนินการทดลอง	32
3.4 การวิเคราะห์ข้อมูล	37
3.5 สรุปผลการทดลอง	39
บทที่ 4 ผลการทดลองและวิเคราะห์	40
4.1 ผลการทดสอบความเข็ง	40
4.2 วิเคราะห์ความสัมพันธ์ของอุณหภูมิและเวลา	41
4.3 วิเคราะห์ข้อมูลเชิงสถิติ	43
บทที่ 5 บทสรุปและข้อเสนอแนะ	55
5.1 สรุปผล	55
5.2 ข้อเสนอแนะ	56
เอกสารยังอิง	57

สารบัญตาราง

ตารางที่	หน้า
1.1 แผนการดำเนินงาน.....	2
2.1 ส่วนประกอบของเหล็ก AISI4140	9
2.2 จำนวนการทดลองเท่ากัน ab ในแต่ละครั้ง	18
2.3 การออกแบบการทดลองแบบแฟคทอเรียลกรีด 2 ตัวแปร	18
2.4 ค่าองค์ความเสี่รี	22
2.5 ตารางวิเคราะห์ความแปรปรวน (ANOVA).....	23
3.1 จำนวนชิ้นงานทดสอบ	31
3.2 ตารางบันทึกผลการทดลองของการทดลอง.....	37
4.1 ตารางบันทึกผลการทดลองของการทดลองที่ 1	40
4.2 ตารางบันทึกผลการทดลองของการทดลองที่ 2	41
4.3 การวิเคราะห์ความแปรปรวนของค่าความแข็งของการทดลองที่ 1 ที่ผ่านการชุบแข็ง	46
4.4 การวิเคราะห์ความแปรปรวนของค่าความแข็งของการทดลองที่ 2 ที่ผ่านการชุบแข็ง	48
4.5 การวิเคราะห์การคาดคะยองค่าความแข็งของเหล็ก AISI 4140 ที่ผ่านการชุบแข็งของการทดลองที่ 1	49
4.6 การวิเคราะห์การคาดคะยองค่าความแข็งของเหล็ก AISI 4140 ที่ผ่านการชุบแข็งของการทดลองที่ 2	50

สารบัญรูป

รูปที่

หน้า

2.1 Unit Cells ของโครงสร้างผลึกแบบ Body Centered Cubic และ Face Centered Cubic ในเหล็ก	4
2.2 แผนภาพสมดุลเหล็ก – การนbnon	6
2.3 เครื่องทดสอบความแข็งแบบเบรคเวล	15
2.4 สภาพผิวชั้นทดสอบที่กดด้วยเพชรรูปกรวย (ร็อกเวลสเกล A, C และD)	16
2.5 ความหนาชั้นงานสัมพันธ์กับความแข็งเมื่อทดสอบหัวกรวยรูปเพชร(HRE, HRC, HRD) ตาม ISO 6508/1986(E).....	17
2.6 ตัวอย่างการกระจายแบบปกติของข้อมูล	21
2.7 การจัดแบ่ง Regression Analysis ตามชนิดของข้อมูลที่ต้องการจะวิเคราะห์	24
2.8 ค่าความคลาดเคลื่อนมาตรฐานของการประมาณ $S_{YX} > 0$	26
3.1 การกำหนดจุดทดสอบความแข็ง	31
3.2 การตัดชิ้นงาน	32
3.3 ชิ้นงานที่ผ่านการตัด	33
3.4 การกลึงปีกหน้าและลบมนูนชิ้นงาน	33
3.5 ชิ้นงานที่ผ่านการกลึงปีกหน้าและลบมนูน	33
3.6 การปีกชิ้นงาน	34
3.7 การมัดชิ้นงาน	34
3.8 การเรียงชิ้นงาน	34
3.9 เตาอบที่ทำการปรับค่าแล้ว	35
3.10 ชิ้นงานที่ทำการซุบเสร็จ	35
3.11 การขัดชิ้นงานหัวกระดายทราย	36
3.12 การทดสอบค่าความแข็ง	36
3.13 เหล็กที่ทดสอบความแข็งแล้ว	36

สารบัญรูป (ต่อ)

รูปที่	หน้า
4.1 กราฟแสดงความสัมพันธ์ของอุณหภูมิและเวลาที่มีต่อค่าความแข็งของการทดลองที่ 1 ที่ผ่านการซุบแข็ง.....	42
4.2 กราฟแสดงความสัมพันธ์ของอุณหภูมิและเวลาที่มีต่อค่าความแข็งของการทดลองที่ 2 ที่ผ่านการการซุบแข็ง.....	42
4.3 แสดงค่า Normal Probability Plot for Hardness ของการทดลองที่ 1.....	43
4.4 แสดงค่า Normal Probability Plot for Hardness ของการทดลองที่ 2.....	44
4.5 แสดงค่าส่วนตกลักก้างกับจำนวนข้อมูลของการทดลองที่ 1.....	44
4.6 แสดงแสดงค่าส่วนตกลักก้างกับจำนวนข้อมูลของการทดลองที่ 2.....	45
4.7 แสดงค่าส่วนตกลักก้างค่าเฉลี่ยค่าความแข็งของการทดลองที่ 1	45
4.8 แสดงค่าส่วนตกลักก้างค่าเฉลี่ยค่าความแข็งของการทดลองที่ 2.....	46
4.9 กราฟแสดงค่าความแข็งจากการพยากรณ์ของชิ้นงานที่ผ่านการซุบแข็งของการทดลองที่ 1....	51
4.10กราฟแสดงค่าความแข็งจากการพยากรณ์ของชิ้นงานที่ผ่านการซุบแข็งของการทดลองที่ 2....	53

บทที่ 1

บทนำ

1.1 ความเป็นมาและความสำคัญของโครงงาน

เนื่องจากเหล็ก AISI4140 เป็นเหล็กมีเย้อร์เซ็นต์คาร์บอนประมาณ ร้อยละ 0.4 จัดอยู่ในระดับปานกลางและมีชาติพัฒนาอยู่ในปริมาณต่ำมีความแข็งแรงไม่สูงมาก สามารถเปลี่ยนคุณสมบัติได้ด้วยการชุบแข็ง โดยการชุบแข็งจะให้เหล็กที่มีความแข็งเพิ่มขึ้น ทำให้ได้เหล็กที่คุณสมบัติเหมาะสมกับงานประดิษฐ์ร่างเครื่องมือกลต่างๆ และในการชุบแข็งนั้น จะมีตัวแปรสำคัญๆ อยู่หลายตัวที่ส่งผลต่อค่าความแข็งของเหล็ก เช่น เวลาในการอบ อุณหภูมิในการอบ ปริมาณชาติคาร์บอนในเหล็ก และอัตราความเร็วในการชุบ หากปัจจัยทั้งหมดจะเห็นว่าเวลาในการอบและอุณหภูมิในการอบ เป็นปัจจัยที่ควบคุมได้ ก็ การวัดหรือกำหนดค่าที่จะทำการทดสอบนั้นเวลาการอบจะสามารถกำหนดได้จะใช้เท่าไรเพียงจับเวลาที่ขึ้นงานอยู่ในเตาอบ ส่วนอุณหภูมิเราสามารถปรับตั้งค่าได้ว่าจะใช้อุณหภูมิเท่าไร โดยจะกดตั้งค่าที่เตาอบ ได้เลย ด้วยเหตุผลนี้ คณะผู้จัดทำโครงงานนี้จึงเลือกที่จะทำการศึกษาเวลาและอุณหภูมิที่ใช้ในการอบ ว่ามีผลต่อความแข็งของเหล็ก AISI 4140 ที่ผ่านการชุบแข็งหรือไม่อย่างไร

1.2 วัตถุประสงค์ของโครงงาน

1.2.1 เพื่อศึกษาผลของเวลาและอุณหภูมิที่มีต่อความแข็งของเหล็ก AISI 4140 ที่ผ่านการชุบแข็ง

1.2.2 เพื่อศึกษาความสัมพันธ์ระหว่างเวลาและอุณหภูมิที่ใช้ในการชุบแข็ง กับความแข็งของเหล็ก AISI 4140 ที่ผ่านการชุบแข็ง

1.3 เกณฑ์ที่วัดผลงาน (Output)

ผลของอุณหภูมิและเวลาที่มีต่อความแข็งของเหล็ก AISI 4140 หลังผ่านการชุบแข็ง

1.4 เกณฑ์ที่วัดผลสำเร็จ (Outcome)

กราฟแสดงความสัมพันธ์ของอุณหภูมิและเวลา ที่มีผลต่อความแข็งของเหล็ก AISI 4140 หลังผ่านการชุบแข็ง

1.5 ข้อมูลการดำเนินการ

- 1.5.1 วัสดุที่ใช้ในการทดลอง คือ เหล็ก AISI 4140
- 1.5.2 อุณหภูมิที่ใช้ในการอบอุ่นช่วงอุณหภูมิ 850 – 1,050 องศาเซลเซียส
- 1.5.3 เวลาที่ใช้ในการอบอุ่นช่วงเวลา 60 – 120 นาที
- 1.5.4 สารที่ใช้ในการชุบแข็งคือ น้ำ
- 1.5.5 การทดสอบด้านความแข็งใช้เครื่องทดสอบแบบร็อกเวล
- 1.5.6 ใช้การทดลองชั้น 1 การทดลอง

1.6 สถานที่ในการดำเนินการวิจัย

ภาควิชาวิศวกรรมอุตสาหการ คณะวิศวกรรมศาสตร์ มหาวิทยาลัยนเรศวร

1.7 ระยะเวลาในการดำเนินการวิจัย

กรกฎาคม พ.ศ.2552 – มกราคม พ.ศ.2553

1.8 ขั้นตอนและแผนการดำเนินงาน (Gantt Chart)

ตารางที่ 1.1 แผนการดำเนินงาน

ลำดับ	การดำเนินงาน	ก.ก.	ส.ก.	ก.ย.	ต.ต.	พ.ย.	ธ.ค.	ม.ค.
1.	ศึกษาและรวบรวมข้อมูล							
2.	ออกแบบการทดลอง							
3.	ดำเนินการทดลอง							
4.	วิเคราะห์ข้อมูลเชิงสถิติ							
5.	สรุปผล							

บทที่ 2

หลักการและทฤษฎีเบื้องต้น

2.1 เหล็กกล้าคาร์บอน (Plain carbon steel) [1]

เหล็กกล้าคาร์บอน เป็นวัสดุในทางวิศวกรรมที่มีคุณสมบัติด้าน ความแข็งและความอ่อนตัวที่เปลี่ยนแปลงได้อย่างมาก ตามปริมาณของคาร์บอนที่ผสมอยู่ในเหล็ก ทำให้เหมาะสมกับการใช้งาน หลายลักษณะ เหล็กคาร์บอนสามารถแบ่งได้เป็น 2 ประเภทตามแผนภูมิสมดุลเหล็ก – การบอน คือ เหล็กกล้าคาร์บอนประเภทไฮโปร์ยูเต็ค托บด์ และเหล็กกล้าคาร์บอนประเภทไฮเปอร์ยูเต็ค托บด์

2.1.1 เหล็กกล้าคาร์บอนประเภทไฮโปร์ยูเต็ค托บด์ (Hypo Eutectoid)

คือ เหล็กกล้าที่มีเปอร์เซ็นต์การบอนในเนื้อเหล็กต่ำ คือ ตั้งแต่ ร้อยละ $0.0218 - 0.77$ มี คุณสมบัติอ่อนเหนียว มีความแข็งน้อยมาก โครงสร้างภายในเนื้อโลหะ คือ เฟอร์ไรต์และเพรลไลต์ ในชิ้นงานทางค้านวิศวกรรม ได้แก่ เหล็กโครงสร้างในงานก่อสร้างทุกชนิดเหล็กในงานเชื่อมโลหะ

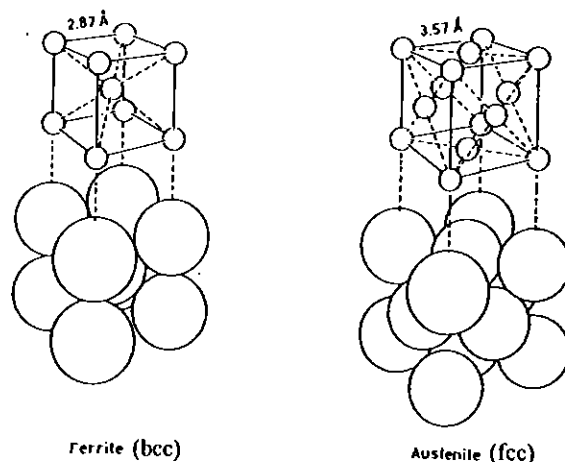
2.1.2 เหล็กกล้าคาร์บอนประเภทไฮเปอร์ยูเต็ค托บด์ (Hyper Eutectoid)

คือ เหล็กกล้าที่มีเปอร์เซ็นต์การบอนผ่านอยู่ประมาณร้อยละ $0.77 - 2.11$ การบอน และมี โครงสร้างภายในเนื้อเหล็ก คือ เพรลไลท์และซีเมนタイト์ มีคุณสมบัติแข็งเหมือนกันที่จะใช้งานกับ ค้านเครื่องมือต่างๆ เช่น ใช้ทำสกัด ในเดือย คอกสว่าน เป็นต้น

2.1.3 อันยรูปของเหล็ก (Allotropic Forms of Iron)

สภาพอันยรูป (Allotropy) หมายถึง สภาพที่ธาตุหนึ่งสามารถมีโครงสร้างผลึกได้หลาย แบบ แต่ละแบบเรียกว่า อันยรูป (Allotrope) คุณสมบัติทางกายภาพของอันยรูปหนึ่งจะแตกต่างจาก ของอีกอันยรูปหนึ่งอย่างเห็นได้ชัด แต่ว่าคุณสมบัติทางเคมีจะเหมือนกัน สภาพอันยรูปนั้นจะ ขึ้นอยู่กับการเรียงตัวของอะตอม ซึ่งจะมีการเรียงตัวแตกต่างกันไปตามระดับของอุณหภูมิต่างๆ

เหล็กบริสุทธิ์ มีการเปลี่ยนแปลงรูปฟอร์ม 4 ลักษณะที่ระดับอุณหภูมิต่างๆ ทำให้เกิด ฟอร์มที่เรียกว่า เหล็กอัลฟ่า (α), เหล็กเบต้า (β), เหล็กแคนนา (γ), และเหล็กเคลต้า (δ) ใน 4 ฟอร์มนี้ α , β และ δ มีโครงสร้างผลึกที่เหมือนกัน คือ Body Centered Cubic (bcc) ส่วนฟอร์ม γ จะมีโครงสร้างผลึกเป็น Face Centered Cubic (fcc) ดังนั้น จึงกล่าวได้ว่าเหล็กบริสุทธิ์มีอันยรูปอยู่ 2 แบบ คือ bcc และ fcc ดังแสดงในรูปที่ 2.1 นั่นแหล่่วเหล็กอัลฟานีบางที่เรียก เหล็กเฟอร์ไรท์ และเหล็ก แคนนาบางที่เรียกว่าเหล็กอสเทนในที่



รูปที่ 2.1 Unit Cells ของโครงสร้างผลึกแบบ Body Centered Cubic และ Face Centered Cubic ในเหล็ก

ที่มา : Steel and its heat treatment, Karl-Erik Thelming, Butterworth

2.1.3 แผนภูมิสมดุลของเหล็ก-คาร์บอน

การศึกษาแผนภูมิสมดุลของเหล็กกับการรับอนุมีความสำคัญมาก เพราะคุณสมบัติของเหล็กที่ใช้อยู่ในงานวิศวกรรมเปลี่ยนแปลงตามปริมาณของการรับอนุมที่ผสมอยู่ในเหล็ก และการที่จะเข้าใจถึงคุณสมบัติต่างๆ ของเหล็กได้ดีขึ้นต้องเข้าใจเรื่องของแผนภูมิสมดุลของเหล็กกับการรับอนุมเป็นหลัก ในการศึกษาแผนภูมนี้จะต้องทำความเข้าใจความหมายของศัพท์ที่เกี่ยวข้องดังต่อไปนี้

เฟอร์ไรท์ (Ferrite) หรือเหล็กอัลฟ่า (α) คือ สารละลายของเหล็กอัลฟารูป α กับการรับอนุม ซึ่งการรับอนุมสามารถละลายได้ในเหล็กมากที่สุด ร้อยละ 0.0218 ที่อุณหภูมิ 727 องศาเซลเซียส

อустีนайнท์ (Austenite) หรือเหล็กแแกมนา (γ) คือ สารละลายของเหล็กอัลฟารูป γ กับการรับอนุม ซึ่งการรับอนุมสามารถละลายในเหล็กแแกมนานี้ได้มากที่สุด ร้อยละ 2.11 ที่อุณหภูมิ 1,148 องศาเซลเซียส

เฟอร์ไรท์เคลต้า (D) คือ สารละลายของเหล็กกับการรับอนุมในช่วงอุณหภูมิใกล้จุดหลอมด้วงของเหล็ก ($1,394 - 1,538$ องศาเซลเซียส) การรับอนุมสามารถละลายได้สูงสุดร้อยละ 0.09 ที่อุณหภูมิ 1495 องศาเซลเซียส

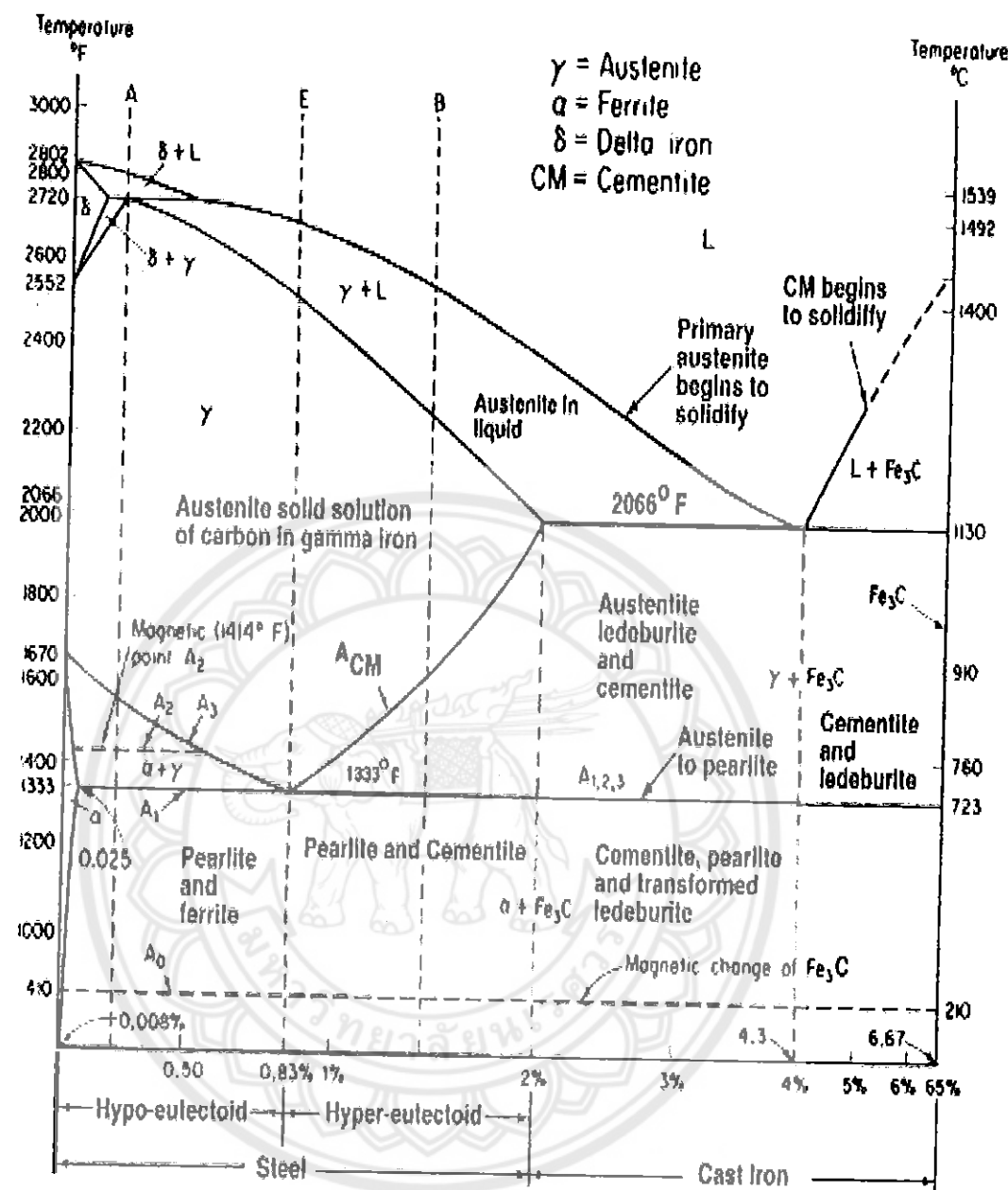
ซีเมนต์ไทท์ (Cementite หรือ Iron Carbide) เมื่อปริมาณการรับอนุมในระบบเหล็ก-การรับอนุมมากเกินกว่าที่มันจะละลายในเฟอร์ไรท์หรืออустีนайнท์หมด การรับอนุมที่เหลือขังตัวกับเหล็ก เกิดเป็นสารประกอบเชิงโลหะ (Intermetallic compound) ระหว่างเหล็กกับการรับอนุมนี้

การบอนพสมอยู่ร้อยละ 6.67 มีสูตร Fe_3C มีความแข็งสูงแต่จะเปราะแตกหักได้ง่ายเมื่อได้รับแรงกระแทก

เพิร์ลไลท์ (Pearlite) คือ ผลึกที่เกิดร่วมกันระหว่างเฟอร์ไรท์ (ร้อยละ 0.0218 โดยน้ำหนักของคาร์บอน) กับซีเมนต์ไทท์ (ร้อยละ 6.67 โดยน้ำหนักของคาร์บอน) เกิดจากปฏิกิริยา Eutectoid ในขณะที่ทำให้เหล็กเย็นช้าๆ ตรงอุณหภูมิ 727 องศาเซลเซียส การเกิดเฟอร์ไรท์และซีเมนต์ไทท์ จะเกิดพร้อมกันที่อุณหภูมิคงที่เกิดผลึกเป็นแอบๆ หลังกันระหว่างเฟอร์ไรท์และซีเมนต์ไทท์

แผนภาพสมดุลของเหล็ก – การบอน ในช่วงอุณหภูมิขึ้นต่อคตอยู่ มีสิ่งที่ที่จะต้องพิจารณาทำความเข้าใจ คือ เส้นอุณหภูมิวิกฤต (Critical Temperature) ซึ่งเป็นเส้นแสดงข�性ทางเดินของเหล็กต่างๆ ในช่วงอุณหภูมิขึ้นต่อคตอยู่

- | | |
|-----------------|---|
| กำหนดให้เส้น A1 | คือ อุณหภูมิขึ้นต่อคตอยู่ |
| A2 | คือ เส้นที่มีการเปลี่ยนแปลงคุณสมบัติทางแม่เหล็ก |
| A3 | คือ เส้นที่เริ่มนีการเปลี่ยนแปลงจากอุณหภูมิในทันทีไปเป็นเฟอร์ไรท์ในขณะปล่อยให้เย็นตัวและจากเฟอร์ไรท์สลายตัวเป็นอุณหภูมิในทันทีที่หดในขณะทำการเผาให้ร้อน |
| A_{cm} | คือ เส้นที่เริ่มนีซีเมนต์ไทท์แยกตัวจากอุณหภูมิในทันทีขณะเย็นตัว และซีเมนต์ไทท์สลายหมดในขณะเผาให้ร้อนถึงอุณหภูมนี้ |
| A4 | คือ เส้นที่มีการเปลี่ยนจากอุณหภูมิในทันทีไปเป็นเฟอร์ไรท์เคลือบ |



รูปที่ 2.2 แผนภาพสมดุลเหล็ก – คาร์บอน

ที่มา: www.rmutphysics.com/.../metalswu/Picture2-3-.bmp

2.1.4 การเปลี่ยนแปลงเฟสฟอร์ไรท์ไปเป็นออสเทนในที่ในลักษณะสมดุลสำหรับเหล็กกล้าคาร์บอน

เหล็กกล้าคาร์บอน (Plain carbon steel) แบ่งได้ดังนี้

2.1.4.1 เหล็กกล้าคาร์บอนต่ำกว่า ร้อยละ 0.0128 โครงสร้างที่อุณหภูมิปกติจะเป็นเฟอร์ไรท์และมีซีเมนต์ไทด์ ปรากฏอยู่ตามขอบเกรนในช่วงการเผาให้ความร้อนอยู่ระหว่าง 20 องศาเซลเซียส ถึง 727 องศาเซลเซียส จะปรากฏการสลายตัวของซีเมนต์ไทด์โดยการบันดาลในลักษณะแพร่ซึ่งเข้าสู่เกรนของเฟอร์ไรท์ ทำให้ปริมาณของคาร์บอนในเฟอร์ไรท์เพิ่มขึ้น เมื่ออุณหภูมิสูงขึ้นจนถึง 727 องศาเซลเซียส จะทำให้ปรากฏเมเฟอร์ไรท์เพียงเฟสเดียวในช่วงอุณหภูมิระหว่าง 727 - 912 องศาเซลเซียส จะปรากฏการเปลี่ยนแปลงจากเฟอร์ไรท์ไปเป็นออสเทนในที่โดยการเกิดนิวเคลียสของออสเทน ในที่ต้านขอบเกรนเฟอร์ไรท์และมีการขยายตัวเมื่ออุณหภูมิสูงขึ้น ปริมาณของออสเทนในที่จะเพิ่มมากขึ้น และจะเหลือเฟอร์ไรท์เพียงเล็กน้อยเมื่ออุณหภูมิเข้าใกล้ 900 องศาเซลเซียส ในที่สุดเฟอร์ไรท์จะหมดไปเมื่ออุณหภูมิสูงเหลือ A₃ และเมื่ออุณหภูมิสูงขึ้นไปอีก จะปรากฏออสเทน ในที่มีการขยายขนาดของเกรนเพิ่มขึ้นจะมีการเปลี่ยนแปลงอีกรั้งจากออสเทนในที่ไปเป็นเฟอร์ไรท์เคลต้าเมื่ออุณหภูมิใกล้ 1394 องศาเซลเซียส

2.1.4.2 เหล็กกล้าคาร์บอนไฮโลยูเต็คตอช์ (ร้อยละ 0.0218 < คาร์บอน < ร้อยละ 0.77) โครงสร้างที่อุณหภูมิปกติประกอบด้วยเฟอร์ไรท์ (ไฮโลยูเต็คตอช์หรือไฟร์มาร์ต) กับเพลไรท์ซึ่งประกอบด้วยเฟอร์ไรท์กับซีเมนต์ไทด์ ในกรณีนี้จะมีทั้งซีเมนต์ไทด์ยูเต็คตอช์และซีเมนต์ไทด์เทอร์ทิโอเรซิ่งจะอยู่ร่องๆ เฟอร์ไรท์ทั้งปะยูเต็คตอช์ และยูเต็คตอช์เดอร์ไรท์ระหว่างอุณหภูมิ 20 - 727 องศาเซลเซียส ซีเมนต์ไทด์เทอร์ทิโอเรซิ่งจะสลายตัวให้อะตอนการบันดาล และจะเหลือเฟอร์ไรท์ทำให้ปริมาณคาร์บอนเพิ่มขึ้นจนสูงที่สุด ร้อยละ 0.218 เมื่ออุณหภูมิสูงถึง 727 องศาเซลเซียส ที่อุณหภูมิ 727 องศาเซลเซียส เป็นอุณหภูมิที่เกิดปฏิกิริยาสูญเสียต์คตอช์ กล่าวคือเกิดการรวมตัวระหว่างเฟอร์ไรท์กับซีเมนต์ไทด์ให้เฟสออสเทนในที่ ($Fe_3C + \alpha \rightarrow \gamma$) แต่ทั้งนี้เฟอร์ไรท์ไฮโลยูเต็คตอช์จะไม่เปลี่ยนแปลงอยู่คงที่ การเกิดปฏิกิริยาสูญเสียต์คตอช์เป็นลักษณะแพร่ซึ่งของคาร์บอนจากซีเมนต์ไทด์เข้าสู่เฟอร์ไรท์ซึ่งจะปรับลักษณะระบบผลึกจาก B.C.C. ไปสู่ระบบ F.C.C. เมื่อปฏิกิริยาสูญเสียต์คตอช์จะได้เฟสออสเทนในที่ที่มีปริมาณคาร์บอน ร้อยละ 0.77 ที่อุณหภูมนี้ โครงสร้างจะประกอบด้วยของออสเทนในที่ (ร้อยละ 0.77 โดยน้ำหนักของคาร์บอน) กับไฮโลยูเต็คตอช์เฟอร์ไรท์ (ร้อยละ 0.0218 โดยน้ำหนักของคาร์บอน) ที่อุณหภูมิสูงกว่า 727 องศาเซลเซียส จะปรากฏปริมาณของออสเทนในที่เพิ่มมากขึ้น โดยที่ปริมาณเฟอร์ไรท์จะค่อยๆ ลดลงโดยเปลี่ยนไปเป็นออสเทนในที่ สิ่งที่สังเกตได้คือในขณะที่ออสเทนในที่เพิ่มปริมาณมากขึ้นแต่ปริมาณของคาร์บอนในออสเทนในที่จะกลับลดลงตามเส้น A₃ ส่วนเฟอร์ไรท์จะที่ค่อยๆ เปลี่ยนไปเป็นออสเทนในที่ปริมาณของคาร์บอนในเฟอร์ไรท์ที่เหลือจะกลับลดลงตามเส้นอัตราการลดลงของคาร์บอนในเฟอร์ไรท์เมื่ออุณหภูมิสูงเหนือเส้น A₃ ไฮโลยูเต็คตอช์เฟอร์ไรท์จะสลายตัว

หนดคงเหลือแต่เพื่อสอสตeten ในที่ซึ่งจะมีการขยายตัวของเกรนเมื่ออุณหภูมิสูงขึ้น และจะเปลี่ยนเป็นเฟสจาก γ ไปเป็น δ เมื่ออุณหภูมิสูงขึ้นไปอยู่ในช่วง 1394 องศาเซลเซียส ถ้าในเหล็กมีการบันดาลน้อยกว่า ร้อยละ 0.175 และถ้าการบันดาลในเหล็กสูงกว่า ร้อยละ 0.17 ออสเตรนในที่จะเริ่มมีการหลอมละลาย

2.1.4.3 เหล็กกล้าญี่ปุ่นค็อกตอยด์ (การบันดาลกับร้อยละ 0.77) โครงสร้างที่อุณหภูมิปกติประกอบด้วย เฟอร์ลิไท ($\alpha + Fe_3C$) ทั้งหมด ระหว่างอุณหภูมิ 20 - 727 องศาเซลเซียส จะเป็นช่วงอุณหภูมิที่ไม่เกิดการเปลี่ยนแปลงของเฟอร์ลิไทแต่ตามหลักทฤษฎีแล้วปรากฏว่าเฟอร์ไรท์จะมีการเพิ่มปริมาณการบันดาล โดยที่ซีเมนต์ไทด์เทอร์ทิอาร์ตามบริเวณรอบๆ เฟอร์ไรท์จะถลายตัวให้อะตอนของการบันดาลปริมาณของการบันดาลในเฟอร์ไรท์เพิ่มสูงขึ้นจนถึง ร้อยละ 0.0218

ที่อุณหภูมิ 727 องศาเซลเซียส จะเกิดปฏิกิริยารวมตัวระหว่างเฟอร์ไรท์ (ร้อยละ 0.0218 โดยน้ำหนักของการบันดาล) กับญี่ปุ่นค็อกตอยด์ซีเมนต์ไทด์ (ร้อยละ 6.67 โดยน้ำหนักของการบันดาล) ให้เฟสอสเตรนในที่ (ร้อยละ 0.77 โดยน้ำหนักของการบันดาล) ดังปฏิกิริยา $\alpha(0.0281\%C) + Fe_3C(6.67\%) \longrightarrow \gamma(0.77\%)$ ที่อุณหภูมิสูงเหนือ 727 องศาเซลเซียส จะปรากฏเฟสอสเตรนในที่ มีการขยายตัวให้เกรนโคลาบขึ้นเรื่อยๆ เมื่ออุณหภูมิสูงขึ้นจนถึงอุณหภูมิประมาณ 1,390 องศาเซลเซียส ออสเตรนในที่เริ่มหลอมละลาย

2.1.4.4 เหล็กกล้าไฮเปอร์บิ๊กค็อกตอยด์ (ร้อยละ 0.77 < การบันดาล < ร้อยละ 2.11) โครงสร้างที่อุณหภูมิปกติประกอบด้วยเฟอร์ลิไทที่มีไฮเปอร์บิ๊กค็อกตอยด์ ซีเมนต์ไทด์อยู่ด้านนอกของเกรนเฟอร์ลิไท ระหว่างอุณหภูมิ 20 - 727 องศาเซลเซียส ไม่มีการเปลี่ยนแปลงโครงสร้างที่ชัดเจน เพียงแค่เฟอร์ไรท์ญี่ปุ่นค็อกตอยด์มีปริมาณการบันดาลเพิ่มขึ้น โดยได้รับการบันดาลจากเทอร์ทิอาร์ซีเมนต์ไทด์ เหมือนกับกรณีเหล็กกล้าญี่ปุ่นค็อกตอยด์ทุกประการ และเฟอร์ไรท์จะมีการบันดาลสูงถึงร้อยละ 0.0218 ที่อุณหภูมิ 727 องศาเซลเซียส เกิดปฏิกิริยารวมตัวระหว่างเฟอร์ไรท์และซีเมนต์ไทด์ให้เฟสอสเตรนในที่ (ร้อยละ 0.77 โดยน้ำหนักของการบันดาล) ที่อุณหภูมิเหนือ 727 องศาเซลเซียส จะปรากฏเนื้อเฟสอสเตรนในที่กับไฮเปอร์บิ๊กค็อกตอยด์ ซีเมนต์ไทด์ซึ่งจะอยู่ ถลายน้ำ ถลายน้ำ ที่อุณหภูมิเพิ่มขึ้น ขณะเดียวกันอสเตรนในที่จะเพิ่มปริมาณมากขึ้นเมื่ออุณหภูมิสูงขึ้นจาก 727 องศาเซลเซียส ในขณะที่อสเตรนในที่เพิ่มขึ้นปริมาณการบันดาลกับเพิ่มขึ้นด้วยตามเส้น A_{cm} และจะปรากฏเมื่อเพิ่มเฟสอสเตรนในที่ท่านั้นเมื่ออุณหภูมิสูงเดียวกับเส้น A_{cm} ที่อุณหภูมิเหนือเส้น A_{cm} จะขยายเกรนโคลาบขึ้นเรื่อยๆ เมื่ออุณหภูมิสูงเลข 1,148 องศาเซลเซียสขึ้นไป ถ้าในกรณีที่เหล็กมีการบันดาลร้อยละ 2.11 ออสเตรนในที่จะเริ่มหลอมละลายที่ 1,140 องศาเซลเซียส

2.2 เหล็ก AISI 4140 [10]

2.2.1 ลักษณะของเหล็ก AISI 4140

เหล็ก AISI 4140 เป็นเหล็กกล้าผสมที่มีการนับอนเป็นส่วนผสมในช่วงปานกลางเป็นเหล็กที่นิยมใช้หัวไว้ราคากูกเมื่อเปรียบเทียบถึงคุณสมบัติที่มีความแข็งอยู่ในช่วง 18 - 22 HRC ซึ่งขึ้นอยู่กับปริมาณคาร์บอนที่อยู่ในเนื้อเหล็กความสามารถในการกลึง ไส้จีนรูปบูร์ในเกณฑ์ใช้ได้ข้อเดียว คือ เมื่อทำการเชื่อมจะเกิดรอยแตกร้าว

2.2.2 ส่วนประกอบของเหล็ก AISI 4140

ตารางที่ 2.1 ส่วนประกอบของเหล็ก AISI 4140

ธาตุ	เปอร์เซ็นต์ (%)
คาร์บอน	0.38-0.43
แมกนีเซียม	0.75-1.00
ฟอฟฟอรัส	0.035(max)
กำมะถัน	0.04(max)
ซิลิกอน	0.15-0.30
โกรเมี่ยม	0.80-1.10
โนลิตินัม	0.15-0.25

ที่มา: http://www.efunda.com/materials/alloys/alloy_stees

2.2.3 ลักษณะเฟสของเหล็ก AISI 4140

จากข้อมูลข้างต้น (ตารางที่ 2.1 ส่วนประกอบของเหล็ก AISI 4140) เราจะทราบว่าเหล็ก AISI 4140 มีเปอร์เซ็นต์คาร์บอนอยู่ ร้อยละ 0.38 – 0.43 โดยหน้าหนักของการนับอน ซึ่งในระดับเปอร์เซ็นต์การนับอนตั้งกล่าวว่านั้นจะจัดว่าเหล็ก AISI 4140 อยู่ในเหล็กคาร์บอนประเภทเหล็กกล้า การนับอนไฮโปบูร์เดคตอ分级 ซึ่งเมื่อนำข้อมูลไปเทียบกับแผนภาพสมดุลของเหล็ก-คาร์บอน พนว่า ในช่วงก่อนเผาเหล็ก AISI 4140 นั้นจะมีเฟสเป็นเฟอร์ไรท์กับเพริลไรท์ และการเปลี่ยนเฟสของเหล็ก AISI 4140 จะเป็นการเปลี่ยนแปลงเหมือนเหล็กคาร์บอนประเภทเหล็กกล้าการนับอนไฮโปบูร์เดคตอ分级 (ดูวิธีการเปลี่ยนเฟสของเหล็กคาร์บอนประเภทเหล็กกล้าการนับอนไฮโปบูร์เดคตอ分级 ข้อ 2.1.4)

2.3 การชุบแข็ง (Hardening) [8]

การชุบแข็ง คือ การอบชุบความร้อนเพื่อต้องการให้เหล็กหลังการชุบมีความแข็งเพิ่มขึ้น เพื่อทนต่อการเสียดสีขยะใช้งานในลักษณะงาน เช่น เหล็กเครื่องมือ การชุบแข็งเป็นวิธีที่จะให้ได้โครงสร้างของเหล็กสุดท้ายเป็นมาร์เกนไซท์หรือเบน ในที่นี้อยู่กับความแข็งสุดท้ายที่ต้องการ การเปลี่ยนแปลงโครงสร้างจากอสเตนในที่ไปเป็นมาร์เกนไนท์หรือเบนในที่ซึ่งจะได้เหล็กที่มีความแข็งแรงสูง ต้องมีปัจจัยที่สำคัญอย่างน้อย 3 ประการ คือ

ก. ปริมาณการบอนเป็นองค์ประกอบที่สำคัญ เพราะการที่อสเตรนในที่จะเป็นมาร์เกนไซท์ในลักษณะการชุบแข็งธรรมชาติวันนี้ เหล็กต้องมีการบอนมากกว่า ร้อยละ 0.3 ส่วนธาตุที่ผสมในเหล็กอื่นๆ เช่น นิกเกิล โครเมียม และโมลิบดินั่มจะไม่เพียงทำหน้าที่ช่วยให้ชุบแข็งได้ผลดีขึ้นเท่านั้น ความแข็งของมาร์เกนไซท์จะขึ้นอยู่กับปริมาณของการบอน

ข. อุณหภูมิก่อนการชุบ คือ อุณหภูมิที่เหล็กจะต้องเปลี่ยนเป็นอสเตรนในที่ ก่อนการชุบน้ำ หรือน้ำมันอุณหภูมิของเหล็กไม่สูงของนโครงสร้างเปลี่ยนเป็นอสเตรนในที่หมด การชุบในน้ำ หรือ น้ำเกลือ น้ำด่าง ความแข็งที่จะได้ไม่สูงเท่าที่ควร เพราะมาร์เกนไซท์ที่จะได้ต้องมาจากอสเตรนในที่เท่านั้น และเป็นการเปลี่ยนโครงสร้างโดยปราศจากการกำเนิดนิวเคลียสไม่เหมือนอย่างเช่นเฟอร์ไรท์หรือซีเมนต์ไทต์

ก. สารชุบ (อัตราการเย็นตัว) เป็นองค์ประกอบที่สำคัญอีกประการหนึ่งที่อสเตรนในที่เปลี่ยนไปเป็นมาร์เกนไซท์หรือเบนในที่ จะต้องเป็นอัตราการเย็นตัวที่สูงพอ ซึ่งจะปรากฏคำว่า อัตราการเย็นตัววิกฤต หมายถึง อัตราการเย็นตัวที่อสเตรนในที่เปลี่ยนไปเป็นมาร์เกนไซท์หรือเบนในที่ ถ้าอัตราการเย็นตัวช้ากว่านี้ ออสเตรนในที่จะไม่มีโอกาสเปลี่ยนเป็นมาร์เกนไซท์หรือเบนในที่ แต่จะได้เฟอร์ลิไลท์แทน

2.3.1 อุณหภูมิสำหรับการชุบแข็ง (Hardening Temperature)

อุณหภูมิสำหรับการชุบแข็งเหล็กแบ่งออกเป็น 2 ชนิดคือ

2.3.1.1 เหล็กไฮโปบูตอตอคต์ จะให้อุณหภูมิระดับที่สูงเหนือสีน AC₃ 30 – 50 องศาเซลเซียส ซึ่งอุณหภูมนี้จะได้โครงสร้างเป็นอสเตรนในที่ทั้งหมด ถ้าพิจารณาในกรณีที่อุณหภูมิต่ำกว่านี้และอยู่ในช่วง AC₁ – AC₃ จะปรากฏมีเฟอร์ไรท์เหลืออยู่บางส่วน ถ้าทำการชุบที่อุณหภูมนี้ ออสเตรนในที่จะเปลี่ยนเป็นมาร์เกนไซท์ แต่เฟอร์ไรท์จะไม่มีการเปลี่ยนแปลงคงสภาพอยู่อย่างเดิม เหล็กภายหลังการชุบจะไม่ได้ความแข็งสูงเท่าที่ควรและบริเวณ โครงสร้างที่เป็นเฟอร์ไรท์จะเป็นบริเวณที่อ่อน (Soft spots) ขาดคุณสมบัติ้านทานต่อการเสียดสี

ในกรณีถ้าเข็นงานที่อุณหภูมิสูงเหนือสีน AC₃ ไปมาก (Overheating) จะได้โครงสร้างอสเตรนในที่ที่มีเกรนใหญ่หลังการชุบนี้จะได้มาร์เกนไซท์ที่ห่าง ซึ่งจะทนแรงกระแทกได้น้อยลง อีกประการหนึ่งเข็นงานในขณะชุบนี้จะเกิดการบิดงอหรือแตกร้าวได้ง่าย

2.3.1.2 เหล็กไฮเปอร์ยูเทกตอยด์ จะใช้อุณหภูมิสูงเหนือเส้น AC_m ประมาณ ร้อบลະ 30 – 50 โดยน้ำหนักของคาร์บอนเท่านั้น เนื่องจากในช่วงของอุณหภูมนี้จะปรากฏโครงสร้างของ โปรยูเต็คตอยด์ซีเมนต์ไดต์เหลืออยู่เพียงบางส่วนเท่านั้น ที่กล้ายหรือสลายตัวไปเป็นอสเดนในที่ และซีเมนต์ไดต์เหลืออยู่นี้จะระจัดกระจายอยู่ทั่วไปในโครงสร้างของอสเดนในที่ เมื่อทำการชุบ น้ำจะได้โครงสร้างของมาร์เทนไซต์ โดยมีโปรยูเทกตอยด์ซีเมนต์ไดต์แทรกอยู่ ซึ่งจะปรากฏเป็น ผงดินในส่วนที่เหล็กจะมีความแข็งสูง และทนการเสียดสีในขณะใช้งาน ได้ดี ทั้งนี้ เพราะ โปรยูเทกตอยด์ซีเมนต์ไดต์ที่มีความแข็งประมาณ 700 – 800 H_o ซึ่งจะแข็งกว่ามาร์เทนไซต์ (650 – 700 H_o) ประเด็นที่สำคัญ คือ จะต้องเลือกอุณหภูมิที่จะไม่เกิด โปรยูเต็คตอยด์ซีเมนต์ไดต์ใน ลักษณะต่อเนื่องเป็นลูกโซ่ตามข้อมูลนี้

ในการพิที่เผาอุณหภูมิเหนือเส้น AC_m จะไม่เกิดผลดี นอกจากต้องใช้พลังงานมาก ขึ้นแล้วโครงสร้างอสเดนในที่จะขยายตัวให้เกรนโตเร็วมาก จะให้ผลที่ได้ภายนลังการชุบไม่ดี เพราะจะได้มาร์เทนไซต์เกรนใหญ่ทันแรงกระแทกได้ไม่ดี และยังอาจเกิดการบิดงอและแตกร้าว ได้โดยง่าย

2.3.2 อัตราการเผาและช่วงเวลาที่เหมาะสม

การกำหนดอัตราการเผาและช่วงเวลาเหมาะสมที่สุดกับปัจจัยหลายประการ เช่น ส่วนผสมของเหล็ก โครงสร้างเดิม ความเครียดเหลือก้าง รูปร่างและขนาดของชิ้นงานที่ทำการชุบ แข็ง ปกติเหล็กเมื่อบรรจุเข้าเตาเผา ความร้อนที่เหล็กจะได้รับที่ผิว กับ ใจกลางจะไม่เท่ากันในตอนแรก เพราะกว่าความร้อนจะเคลื่อนที่ผ่านเนื้อเหล็กเข้ามาถึงใจกลางย่อมต้องใช้เวลา การเผาในอัตราสูง ความแตกต่างของอุณหภูมิที่ผิว กับ ใจกลางจะมีค่ามาก การบิดงอนมากซึ่งจะทำให้เกิดการแตกร้าวได้ง่าย โดยทั่วไปเราแบ่งอัตราการเผาไว้ 3 อัตรา ที่สุดกับอุณหภูมิของเตา

2.3.2.1 อัตราการเผาช้า เป็นวิธีที่เริ่มต้นโดยบรรจุเหล็กเข้าเตาพร้อมๆ กับการให้ความร้อนแก่เตาเผาพร้อมๆ กับ อุณหภูมิทั้งของเตาและชิ้นงานจะร้อนขึ้นในอัตราใกล้เคียงกันในลักษณะ เช่นนี้ อุณหภูมิแตกต่างระหว่างผิว กับ ใจกลางของแท่งเหล็กมีน้อย การเผาในลักษณะเช่นนี้เหมาะสมสำหรับเหล็กที่มีการบ่อนสูง มีความเครียดเหลือค้างมากจากการขึ้นรูป รูปร่างซับซ้อนและมีส่วนหนาบางต่างกันมาก

2.3.2.2 อัตราการเผาสูง วิธีนี้จะเผาเตาที่มีอุณหภูมิเท่าที่ต้องการ จากนั้นจึงจะบรรจุเข้าเตาเผาภายในลักษณะเดียวกับอัตราการเผาจะสูง อุณหภูมิระหว่างผิว กับ ใจกลางชิ้นงานต่างกันมากในตอนเริ่มต้น แต่จะไปเท่ากันในระยะเวลาที่สั้นกว่าวิธีแรก การเผาในอัตราสูงแนะนำสำหรับงานชิ้นเล็กๆ รูปร่างไม่ซับซ้อน และถ้าเป็นเหล็กคาร์บอนปานกลาง จะใช้วิธีเอาเหล็กบรรจุไว้ในพิเศษ กลุ่มนิตชิค บรรจุเข้าเตาจะช่วยลดอัตราการเผาลง ได้อีก เพราะกว่าความร้อนจะผ่านหินเข้าไปถึงใจกลางแท่งเหล็กจะช้าลง

สำหรับช่วงเวลาที่ทึ่งไว้ที่อุณหภูมิที่ต้องการ มีวัตถุประสงค์เพื่อให้ได้ออสเตนในที่ส่วนบนและให้อุณหภูมิทั่วบริเวณผิวและไปทางแท่งเท้ากัน ไม่มีกฎเกณฑ์ที่ตายตัว ขึ้นอยู่กับหลักในการปฏิบัติ ถ้าเป็นเหล็กควรบนหรือเหล็กผสมค่าซึ่งการนำไปศลวยได้ง่าย จะใช้เวลาประมาณ 5 – 15 นาที ก็พอ ทั้งนี้ขึ้นอยู่กับความหนาของชิ้นงานด้วย แต่ถ้าเป็นเหล็กผสมปานกลาง หรือสูง ซึ่งการนำไปดีมีเสถียรภาพ จะต้องใช้เวลาที่นานพอที่การนำไปศลวยด้วยเหล็กด้วยเวลาที่ใช้ควรจะเพิ่มขึ้นประมาณ 25 – 50 เปลอร์เซนต์ของเวลาในกรณีปกติ แต่โดยทั่วไปถ้าเหล็กมีขนาดความหนา 1 นิ้ว จะใช้เวลาในการอบประมาณ 60 นาที

2.3.2.3 อัตราการเผาที่สูงมาก เป็นวิธีที่ไม่นิยมใช้ เพราะอัตราการเผาจะสูง อุณหภูมิระหว่างผิวกับไก่ทางแท่งเหล็กจะแตกต่างกันมากในตอนเริ่นต้น โดยวิธีการเผาเดาให้อุณหภูมิในเตาสูงกว่าอุณหภูมิที่ต้องการ เมื่อบรรจุเหล็กเข้าเตาเผา อุณหภูมิของเตาจะลดลงมากเท่ากับที่ต้องการพร้อมๆ กับอุณหภูมนิ่งของชิ้นงานร้อนขึ้น เวลาที่ใช้จะสั้นกว่าทุกวิธีที่ผ่านมา แต่อุณหภูมิระหว่างไก่กับผิวเหล็กแตกต่างกันมากอาจจะทำให้เกิดการบิดองหรือชิ้นงานแตกกร้าวได้ง่ายวิธีนี้เหมาะสมสำหรับงานขนาดเล็ก และรูปร่างง่ายๆ จำเป็นจะต้องบรรจุในพื้นเหมือนวิธีที่สองเพื่อลดอัตราการเผาให้ช้าลง

2.3.3 การเตรียมและการผูกชิ้นงานสำหรับชุบ

การเตรียมและการผูกชิ้นงานสำหรับชุบทั่วไปสั่งที่มีความจำเป็นอย่างยิ่งที่ผู้กระทำการชุบจะต้องคำนึงถึงและจะต้องใช้ความระมัดระวังในการเตรียมชิ้นงาน เพราะถ้าหากมีการเตรียมและผูกชิ้นงานที่ถูกต้องจะช่วยให้ชิ้นงานชุบที่ออกมานีลักษณะดี คือไม่บิดงอ และยังจะช่วยลดการแตกกร้าวของชิ้นงาน ซึ่งสามารถปฏิบัติได้ดังนี้

2.3.3.1 ถ้าหากชิ้นงานนั้นมีรูปร่างลักษณะ слับซับซ้อน เช่น มีรูช่องของงานหรือมีจำนวนหลาบๆ เป็นต้น ควรจะใช้ดินทรายฟ์ผสมด้วยน้ำ แล้วทำการอุดรูหรือส่วนที่ слับซับซ้อนนั้นเสีย เพื่อที่จะให้อัตราการเย็บตัวของชิ้นงานจะได้ไม่ด่างกันมากนักอันเป็นเหตุให้ชิ้นงานนั้นเกิดการแตกกร้าวขึ้นได้ เมื่อทำการจุ่นชุบในข่องเหลว

2.3.3.2 ผิวของชิ้นงานจะต้องสะอาดปราศจากสนิมหรือสิ่งอื่น ซึ่งเป็นตัวกันความร้อนที่จะระบายนอกจากชิ้นงานไปยังสารที่ใช้จุ่นชุบ เพราะไม่เช่นนั้นแล้วเมื่อกระทำการจุ่นชุบชิ้นงานจะแข็งเป็นจุดๆ หรืออาจจะไม่แข็งเท่าที่ควร

2.3.3.3 ควรจะบันทึกชนิดของเหล็ก รูปร่าง ประเภท และขนาดของชิ้นงานไว้ก่อนที่จะทำการชุบ เพื่อป้องกันการสับเปลี่ยนของชิ้นงาน

2.3.3.4 การผูกชิ้นงานจะต้องผูกให้แน่นและแข็งแรงพอที่จะไม่หลุดออกจากชุบ เพราะทำให้เกิดการเสียหายแก่ชิ้นงาน

2.3.3.5 ลวดที่จะทำการผูกต้องแข็งแรงพอ หมายถึง สามารถรับน้ำหนักของชิ้นงานได้ที่อุณหภูมิซึ่งเป็นอุณหภูมิสูง

2.3.3.6 การผูกหรือการจับชิ้นงานควรจะผูกให้ถูกทิศทาง เพื่อความสะดวกในการนำชิ้นงานที่ได้ออกไปทำการซุบซึ่งจะมีอุณหภูมิสูง

2.3.3.7 การผูกชิ้นงานหลายชิ้นรวมเป็นพากใหญ่ๆ อาจจะทำให้ความแข็งของชิ้นงานแต่ละชิ้นไม่เท่ากันอันเกิดจากการเย็นตัวระหว่างชิ้นงานที่อยู่ร่องนอกกับชิ้นงานที่อยู่ภายในไม่เท่ากัน

2.3.3.8 ในกรณีเดาที่ใช้ในการเผาชิ้นงานเป็นเดาที่ควบคุมบรรยายกาศภายในเตาไม่ได้ ควรจะนำชิ้นงานต้องการอบชุบบรรจุลงในกล่องเพื่อป้องกันผิวของชิ้นงานเสียอันเกิดจากออกซิเจนเข้าไปทำปฏิกิริยากับผิวของชิ้นงานการบรรจุชิ้นงานลงในกล่องควรจะคำนึงถึงส่วนเหล่านี้ ไม่ควรบรรจุชิ้นงานที่มีอุณหภูมิชุบต่างกันลงในกล่องเดียวกัน เพราะทำให้เกิดความล้ำกันในการจุ่นชุบและทำให้ผิวของชิ้นงานเสีย เนื่องจากการปีก-ปีกกล่องหลายครั้ง ไม่ควรบรรจุชิ้นงานที่มีขนาดต่างกันมากๆ ลงในกล่องเดียวกัน เพราะจะทำให้การเผาแซ่ล้ำกันและจะทำให้ชิ้นแต่ละชิ้นความแข็งต่างกัน กรณีชิ้นงานที่มีลักษณะที่บิดงอได้ง่าย เช่นชิ้นงานมีความยาวมากๆ หรือชิ้นงานบางควรระวังชิ้นงานให้เรียบร้อยหรือให้เป็นระเบียบ ไม่ควรวางระยะห่างระหว่างการทำให้ชิ้นงานเกิดการบิดงอขณะเผาได้

2.3.4 ลักษณะของเหลวสำหรับการซุบแข็ง

2.3.4.1 ต้องมีอัตราการเย็นตัวที่สูงกว่าอัตราการเย็นตัวปกติ

2.3.4.2 มีอัตราการเย็นตัวที่ช้าลงในช่วงอุณหภูมิการเปลี่ยนแปลงจากอุณหภูมิไปเป็น marrow ไซด์ (ประมาณ 200 – 400 องศาเซลเซียส) เพื่อป้องกันไม่ให้เกิดความเครียดภายในจนเกิดการบิดงอหรือแตกร้าวเสียหายได้

2.3.4.3 การถ่ายความร้อนที่ของเหลวภายในจะเป็นไออกเมื่อสัมผัสแท่งเหล็กที่ร้อน แบ่งเป็น

3 ลักษณะ

1) ขันแรกของเหลวที่สัมผัสถักบันแท่งเหล็กร้อนจะคลายเป็นไออกทุ่มแท่งเหล็กไว้ในลักษณะฟิล์มน้ำๆ การถ่ายเทความร้อนช่วงนี้จะช้าแต่จะเป็นอยู่ในระยะสั้นๆ

2) ขันที่สองฟิล์มน้ำๆ ที่ทุ่มอยู่แตกออกของเหลวสัมผัสถักบันแท่งเหล็กจะเดือดภายในเป็นไออก มีลักษณะเหมือนการกวนข้นนี้อัตราการเย็นตัวจะสูงมาก

3) ขันที่สาม อัตราเย็นตัวช้าลงเพราะแท่งเหล็กเย็นน้อยลง ของเหลวนี้อุณหภูมิต่ำกว่าจุดเดือดความร้อนจึงถ่ายเทโดยการพาดด้วยของพิเศษอย่างเดียว อัตราการเย็นตัวจะลดลงจนถึงจุดที่ของเหลวถักบันแท่งเหล็กมีอุณหภูมิเท่ากัน

2.3.5 สารซุบหรือตัวกลาง (Quenching Media)

กรรมวิธีทางความร้อนทุกประเภทจะต้องอาศัยตัวกลางในการทำให้ชิ้นงานที่ผ่านการอบเย็นตัวลงในอัตราเย็นตัวต่างๆ กัน ดังนี้ ตัวกลาง ก็คือ สารที่ช่วยให้ชิ้นงานที่ผ่านการอบได้ถ่ายเทความร้อนหรือควบคุมอัตราการเย็นตัวของชิ้นงานได้เร็วหรือช้าได้ตามต้องการ ตัวกลางที่นิยมใช้กรรมวิธีทางความร้อนมีดังนี้

2.3.5.1 น้ำ เป็นตัวกลางที่ให้อัตราเย็นตัวที่สูงมาก เป็นของเหลวที่หาได้ง่าย และยังควบคุมให้ปราศจากของเสียได้ง่ายอีกด้วย การใช้น้ำเป็นตัวกลางจะให้ผลดีเมื่อน้ำมีอุณหภูมิ 15 - 25 องศาเซลเซียส คือ จะทำให้อัตราการเย็นตัวค่อนข้างคงที่ การชุบต้องมีการกวนอยู่ตลอดเวลา เพราะว่าจะมีฟองอากาศเกิดขึ้นขณะทำการชุบ และฟองอากาศนี้จะทำให้อัตราการเย็นตัวเปลี่ยนไป

2.3.5.2 น้ำเกลือ ตัวกลางชนิดนี้จะประกอบไปด้วยน้ำผสมกับน้ำเกลือในอัตราส่วนต่างๆ กัน แต่ที่นิยมใช้คือ ผสมเกลือ ร้อยละ 10 ตัวกลางนี้จะให้อัตราการเย็นตัวเร็วกว่าน้ำในช่วงอุณหภูมิ 600 - 400 องศาเซลเซียส นอกจากนั้นช่วงการเกิดมาร์เทนไซต์ น้ำเกลือให้อัตราเย็นตัวไม่สูงนักจึงทำให้ไม่เกิดความเครียดมากนัก

ส่วนข้อเดียวจะถูกกร่อนโดยหัวทั้งในสภาพที่เป็นไอและในสภาพที่เป็นของเหลว นอกจากนั้นจะทำให้เกิดความอิ่มตัว

2.3.5.3 น้ำมัน ตัวกลางชนิดนี้แบ่งได้หลายประเภทตามส่วนผสม ประสิทธิภาพ และอุณหภูมิที่ใช้ เช่น น้ำมันที่ใช้ในการชุบทั่วไป น้ำมันชุบเร็ว น้ำมันชุบมาร์เทนเปอร์ริง ซึ่งส่วนใหญ่จะเป็นน้ำมันที่เป็นสารประกอบไฮโดรคาร์บอน ดังรายละเอียดต่อไปนี้

1) น้ำมันชุบทั่วไป (Conventional Quenching oil) เป็นน้ำมันจากแร่ บางครั้งอาจจะผสมสารป้องกันการเกิดสนิมด้วยก็ได้

2) น้ำมันชุบเร็ว (Fast Quenching oil) เป็นน้ำมันจากแร่ผสมน้ำมันชนิดนี้ ส่วนผสมพิเศษอื่นๆ ลงไปด้วย เช่น สารกันสนิม ส่วนช่วยลดการตึงผิว เป็นต้น

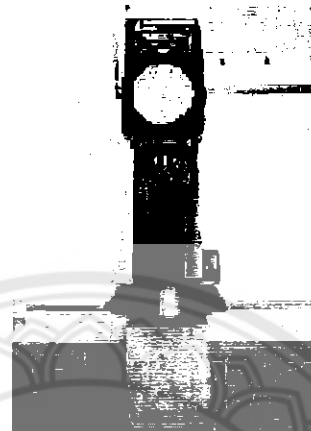
3) น้ำมันชุบมาร์เทนเปอร์ริง (Hot Quenching Oil) เป็นน้ำมันแร่ประเภทพาราfin ที่มีสารป้องกันสนิมและสารที่ช่วยในการชุบเร็ว ตัวกลางชนิดนี้ก็จะใช้สำหรับการชุบแข็งแบบมาร์เทนเปอร์ริงของเหล็กเพื่อให้ได้โครงสร้างมาร์เทนไซต์

4) เกลือเหลว วิธีการใช้เกลือเหลวในการชุบนี้ เรียกว่า การทำซอลต์บაธ (Salt Bath) เกลือสามารถทำให้หลอมละลายได้รวดเร็วและรักษาอุณหภูมิได้ดี

2.4 การทดสอบความแข็งโลหะตามร็อกเวล (Metallic Materials Rockwell Hardness Test) ตาม ISO 6508-1986 (E) [6]

การทดสอบความแข็งด้วยเครื่องวัดนิชาวน์เมริกันชื่อ ร็อกเวล (Rockwell) ได้พัฒนาไว้ในปี 1922 หลักการทำงานคือ ให้กดหัวกดทดสอบบนชิ้นทดสอบจนเป็นรอยคราบตื้ว (Plasticity) แล้วส่วนหนึ่งที่ถูกดันบุ้น บริเวณที่เกิดการเปลี่ยนรูป (Deformed) คราบตัวจะทำให้เกิดความเครียดเย็น (Strain hardened) ชิ้นทดสอบที่ผ่านการอบอุ่นจะเกิดมากกว่าชิ้นทดสอบชุบแข็ง

การทดสอบแบบรีอคเวลนี้ วัดได้จากความลึกที่ปรากฏบนผิวทดสอบ อันเกิดจากการกดของหัวกด (Indenter) มาตรฐาน และวัดความแข็งของชิ้นงานได้หลายสเกล เช่น สเกล A, B, C, D, E, F, G, H, K, L เป็นต้น แต่มีการวัดบางสเกลเท่านั้นที่นิยมใช้ ซึ่งสเกลเหล่านั้น คือ สเกล C และ B



รูปที่ 2.3 เครื่องทดสอบความแข็งแบบรีอคเวล
ที่มา: www.material.chula.ac.th/.../hardness_small.jpg

2.4.1 การทดสอบความแข็งแบบรีอคเวลสเกล C (HRC)

ใช้วัดความแข็งของเหล็กกล้าที่ผ่านการชุบแข็ง โดยการใช้หัวกดรูปทรงกรวยทำด้วยเพชรที่มีขอดมุมเท่ากับ 120 องศา

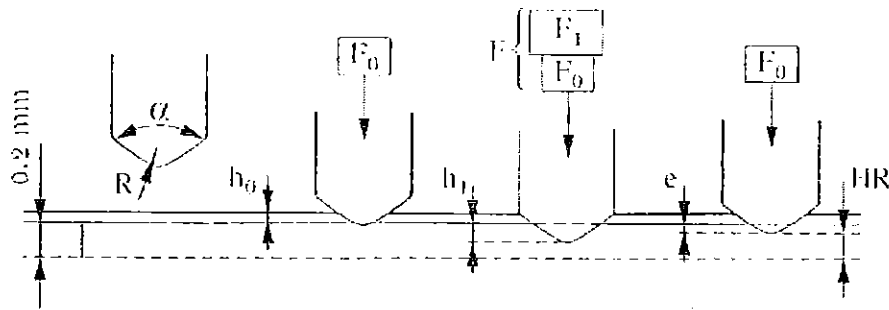
2.4.2 หลักการ (Principle) ทดสอบความแข็งแบบรีอคเวล

เมื่อใช้แรงกดหัวกด (Indenter) ถ้าทดสอบแบบวีรีอคเวลสเกล C จะใช้กรวยรูปเพชร กดบนชิ้นทดสอบด้วยแรงกดนำ (Preliminary force) และแรงกดเพิ่มเติม (Additional force) เมื่อนำแรงกดเพิ่มเติมออกจะทำให้เกิดระยะกดลึกดาวร ค่า e หน่วยวัด c แต่ละ 1 สเกล คือ 0.002 มิลลิเมตร ค่า e นี้จะแบ่งเป็น 100 สเกล = 0.2 มิลลิเมตร จำนวนสเกลที่อ่านได้ (e) คือค่าความแข็งรีอคเวล เช่น

หน่วยวัด c แต่ละ 1 สเกล คือ 0.002 มิลลิเมตร ค่า e นี้จะแบ่งเป็น 100 สเกล = 0.2 มิลลิเมตร จำนวนสเกลที่อ่านได้ (e) คือค่าความแข็งรีอคเวล เช่น

$58 \text{ HRC} = \text{ความแข็งรีอคเวล (HR=Rockwell Hardness)}$ วัดด้วยสเกล C ได้ 58

$70 \text{ HRB} = \text{ความแข็งรีอคเวลวัดด้วยสเกล B}$ ได้ 70



รูปที่ 2.4 สภาพผิวขั้นทดสอบที่กัดด้วยเพชรรูปกรวย (ร่องเวลาลสเกล A, C และ D)

ที่มา: มนพ ต้นตระบันพิเศษ, งานทดสอบวัสดุอุตสาหกรรม, 2546

เมื่อ

α = มุมของกรวยรูปเพชร

R = รัศมีของปลายเพชรรูปกรวย = 0.2 มิลลิเมตร

D = ขนาดเส้นผ่าศูนย์กลางของถูกนอลเหล็กกล้าชุบแข็ง

F_0 = แรงกด

F_1 = แรงกดเพิ่มเติม

F = แรงกรวน

h_0 = ความลึกของการแยกจากแรงกดนำ (แต่ยังไม่กัดด้วยแรงกดเพิ่มเติม)

h_1 = ความลึกของการแยกเพื่อเพิ่มแรงกดเพิ่มเติม

e = ระยะลึกถาวรของรอบยกเมื่อนำแรงกดเพิ่มเติมออกเหลือแต่แรงกดนำ (1 หน่วยสเกล = 0.002 มิลลิเมตร)

ดังนั้น ความแข็งร่องเวลา C(HRC) = $100 - e$

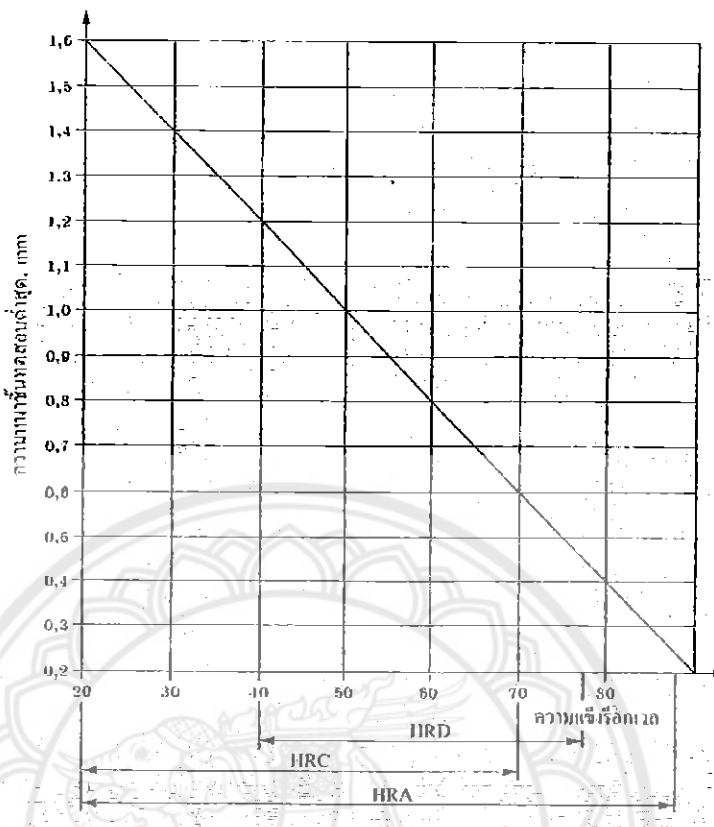
ขอบเขตการทดสอบความแข็งร่องเวลา C จะให้ทดสอบความแข็งระหว่าง 20 ถึง 70

HRB ใช้ทดสอบเหล็กกล้าชุบแข็งและอบกินตัว

2.4.3 การเตรียมขั้นทดสอบ

2.4.3.1 ผิวขั้นทดสอบจะต้องเจียระในละเอียด ปราศจากอกไชค์ ผิวสะเก็ด (Scale) หรือวัสดุอื่นๆ รวมทั้งสารหล่อลื่น

2.4.3.2 ขนาดความหนาขั้นทดสอบจะต้องมีขนาด 10 เท่าของระยะคลิกถาวร e หรือเท่ากับที่ 2.4



รูปที่ 2.5 ความหนาชั้นงาน สัมพันธ์กับความแข็งเมื่อทดสอบด้วยกรอบรูปเพชร

(HRE, HRC, HRD) ตาม ISO 6508-1986(E)

ที่มา : นานพ ดันตรีบันฑิตย์, งานทดสอบวัสดุอุตสาหกรรม, 2546

2.4.4 ขั้นตอนการทดสอบ

2.4.4.1 โดยทั่วไปแล้วการทดสอบจะกระทำที่ระหว่าง 10 ถึง 35 องศาเซลเซียส หากต้องการทดสอบภายในอุณหภูมิกระทำที่ 23 ± 5 องศาเซลเซียส

2.4.4.2 นำชิ้นทดสอบมาวางบนแท่นที่มีความแข็งเพียงพอ

2.4.4.3 นำหัวกดคืนผิวงานด้วยแรงกด $F_0 = 98.07 \text{ N}$ โดยมิให้กระแทกหรือนีกการสั่นสะเทือนใดๆ

2.4.4.4 ตั้งหน้าปัดให้สเกลซึ่งที่เลข 100 (ขณะนี้จะกดล็อก 0 มิลลิเมตร กำหนดไว้ที่ความแข็งร่องเวลา 100) จากนั้นเพิ่มแรงกดเพิ่มเติมจาก F_0 ไป F ในเวลา 2 วินาทีแต่ไม่เกิน 8 วินาที แรงกดเพิ่มเติม $F = 1.471 \text{ N}$ สำหรับสเกล C, G และ K

2.4.4.5 เพื่อให้หัวกดแซ่ในเนื้อวัสดุนิเกิดสภาพกรากตัว (Plasticity) ด้วยแรงกดเพิ่มเติม F จะต้องให้หัวกดแซ่ระหว่าง 10 ถึง 15 วินาที

2.4.4.6 ถ้าความแข็งร่องเวลาได้จากระยะลึกถาวร e ซึ่งโดยปกติจะสามารถอ่านค่าที่เครื่องทดสอบได้โดยตรง ระยะห่างระหว่างรอยกด (วัดจากศูนย์กลางรอยกด) จะต้อง

มากกว่า 4 เท่าของรยะกต (แต่ต้องไม่ต่ำกว่า 2 มิลลิเมตร) สำหรับรยะกตที่อยู่ห่างจากขอบของชิ้นงานจะต้องมีระยะห่างอย่างต่ำ 2.5 เท่าของเส้นผ่านศูนย์กลางรยะกต (ไม่ต่ำกว่า 1 มิลลิเมตร)

2.5 การออกแบบการทดลองแบบสองปัจจัย [7]

การออกแบบการทดลองแบบสองปัจจัยประกอบไปด้วย 2 ตัวแปรคือ ตัวแปร A ซึ่งมีอยู่ a ระดับ และเข้าเคียงกันกับตัวแปร B ซึ่งมีอยู่ b ระดับ คั่นน้ำในแต่ละครั้งของการทดลองจะมีองค์ประกอบของการทดลองหรือวิธีปฏิบัติ (Treatments) อยู่ทั้งสิ้น ab วิธีที่แตกต่างกัน

ตารางที่ 2.2 จำนวนการทดลองเท่ากับ ab ในแต่ละครั้ง

	B_1	B_2	...	B_b
A_1				
A_2				
:				
A_a				

ที่มา : พงษ์ชนัน พลีอิงไพบูลย์, การออกแบบการทดลอง, 2546

โดยปกติจะทำการทดลองห้องหมนค ณ ครั้ง คั่นน้ำจะทำให้ตารางการออกแบบการทดลองแบบแฟลกทอรีอล กราฟ 2 ตัวแปร สามารถแสดงໄດ້ดังตารางด่อไปนี้

ตารางที่ 2.3 การออกแบบการทดลองแบบแฟลกทอรีอลกราฟ 2 ตัวแปร

ตัวแปร B

ตัวแปร A

	1	2	...	b
1	$y_{111}, y_{112},$ $..., y_{11n}$	$y_{121}, y_{122},$ $..., y_{12n}$		$y_{1b1}, y_{1b2},$ $..., y_{1bn}$
2	$y_{211}, y_{212},$ $..., y_{21n}$	$y_{221}, y_{222},$ $..., y_{22n}$		$y_{2b1}, y_{2b2},$ $..., y_{2bn}$
:				
A	$y_{a11}, y_{a12},$ $..., y_{a1n}$	$y_{a21}, y_{a22},$ $..., y_{a2n}$		$y_{ab1}, y_{ab2},$ $..., y_{abn}$

ที่มา : พงษ์ชนัน พลีอิงไพบูลย์, การออกแบบการทดลอง, 2546

โดยกำหนดให้

y_{ijk} แทนค่าตอบสนองเมื่อตัวแปร A อยู่ที่ระดับ i
B อยู่ที่ระดับ j ใน การทดลองครั้งที่ k

และ i มีค่าตั้งแต่ 1 ถึง a
j มีค่าตั้งแต่ 1 ถึง b
k มีค่าตั้งแต่ 1 ถึง n

และค่าตอบสนองแต่ละตัวได้รับจากการทดลองสุ่ม (Completely Randomised Design, CRD)
และสามารถเขียนตัวแบบทางด้านสถิติเชิงเส้น (Linear Statistical Model) ได้ดังนี้

$$y_{ijk} = \mu + \tau_i + \beta_j + (\tau\beta_{ij}) + \ell_{ijk} \quad \begin{cases} i = 1, 2, 3, \dots, a \\ j = 1, 2, 3, \dots, b \\ k = 1, 2, 3, \dots, n \end{cases} \quad (2.1)$$

โดยที่ μ แทน ผลตอบสนองเฉลี่ยของข้อมูลทั้งหมด
 τ_i แทน ผลกระทบอันเกิดจากระดับที่ i ของตัวแปร A
 β_j แทน ผลกระทบอันเกิดจากระดับที่ j ของตัวแปร B
 $\tau\beta_{ij}$ แทน ผลกระทบจากความสัมพันธ์ระหว่าง τ_i และ β_j
 ℓ_{ijk} แทน ค่าความผิดพลาดจากการทดลอง

โดยกำหนดให้ตัวแปร A และ B เป็นตัวแบบผลกระทบคงที่ (Fixed Effect Model) ดังนั้น
ผลกระทบจากการทดลองจึงจะเป็นค่าความแปรเปลี่ยน (Variation) อันจะสืบเนื่องมาจากการที่ค่า
ผลตอบสนองเฉลี่ยโดยรวม จะได้ว่า $\sum_{i=1}^a \tau_i = 0$ และ $\sum_{j=1}^b \beta_j = 0$ ทำนองเดียวกัน เนื่องจาก
ความสัมพันธ์ระหว่างตัวแปรเป็นค่าคงที่ ดังนั้นจะได้ว่า $\sum_{i=1}^a (\tau\beta)_{ij} = \sum_{j=1}^b (\tau\beta)_{ij} = 0$ และมีจำนวน
ครั้งในแต่ละการทดลอง n ครั้ง ดังนั้นจำนวนส่วนประกอบของการทดลองทั้งหมดจึงเท่ากับ abn
ครั้ง

ในการทดลองแบบแฟคทอริเริล ตัวแปรทั้งสอง (A และ B) ถือว่ามีความสำคัญเท่ากันจึงต้องมี
การทดสอบสมมติฐานทั้ง 2 ตัวแปร

กรณีผลกระทบเนื่องจากตัวแปรเดียว (ตัวแปร A)

$$H_0 : \tau_1 = \tau_2 = \dots = \tau_a = 0$$

$$H_1 : \text{อย่างน้อยที่สุดมีค่าใดค่าหนึ่ง } (\tau_i) \neq 0$$

กรณีผลกระทบเนื่องจากตัวแปรคอลัมน์ (ตัวแปร B)

$$H_0 : \beta_1 = \beta_2 = \beta_3 = \dots = \beta_b = 0$$

- H_1 : อย่างน้อยที่สุดมีค่าใดค่าหนึ่ง $(B_j) \neq 0$
 รวมทั้งผลกระทบที่มีความสำคัญอย่างมากอีกอย่างหนึ่งคือ
 กรณีผลกระทบเนื่องจากความสัมพันธ์ระหว่างตัวแปรเดียวและตัวแปรกลุ่มนี้
 $H_0 : (\tau\beta)_{ij} = 0$ ทุกๆ ค่า i, j
 $H_1 :$ อย่างน้อยที่สุดหนึ่งค่า $(\tau\beta)_{ij} \neq 0$

2.6 การวิเคราะห์ความแปรปรวน [4]

การวิเคราะห์ความแปรปรวนสองทางหรือTwo-way ANOVA เป็นวิธีการทดสอบเพื่อวิเคราะห์ความสัมพันธ์ระหว่างตัวแปรอิสระหรือตัวแปรต้นที่เป็นสิ่งทดลองจำนวน 2 ตัวกับตัวแปรตามเพียงตัวเดียว โดยที่ตัวแปรอิสระหรือตัวแปรต้นอาจมีลักษณะเชิงคุณภาพที่จำแนกออกเป็นระดับหรือประเภทต่างๆ ส่วนตัวแปรตามมีลักษณะเชิงปริมาณ เพื่อศึกษาความสัมพันธ์ของตัวแปรอิสระหรือตัวแปรต้นว่าจะส่งผลอย่างไรกับตัวแปรตาม ตามสมมติฐานการวิจัยที่กำหนดไว้โดยที่การวิเคราะห์ความแปรปรวนสองทาง นอกจากจะสามารถศึกษาผลของตัวแปรทั้งสองตัวไปพร้อมๆ กันแล้วยังสามารถศึกษาผลร่วม (Interaction) ระหว่างตัวแปรทั้งสองตัวบ่งบอกว่าตัวแปรอิสระหรือตัวแปรต้นตัวหนึ่งนอกจากจะส่งผลต่อตัวแปรตามแล้วยังส่งผลต่อ ต่อตัวแปรอิสระหรือตัวแปรต้นอีกด้วยหนึ่งหรือไม่

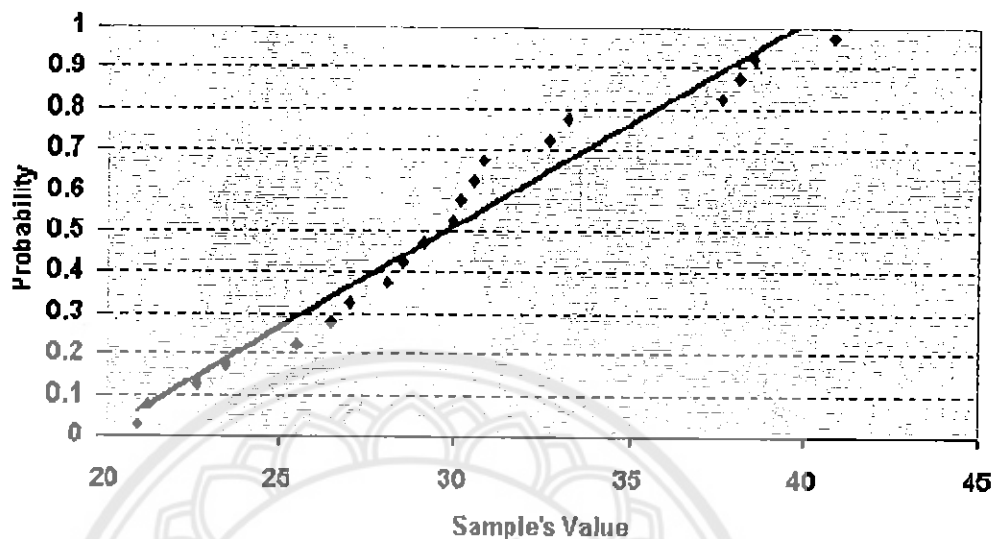
เนื่องในของการวิเคราะห์ความแปรปรวน ในการทดสอบสมมติฐานการเท่ากันของค่าเฉลี่ยของประชากรจะต้องมีเงื่อนไข คือ ประชากรต้องมีการแจกแจงแบบปกติ

2.6.1 การกระจายแบบปกติ

เมื่อมีการสุ่มตัวอย่างจำนวนหนึ่งออกมามากจากประชากรที่มีการกระจายแบบปกติ (Normal Distribution) โดยปกติกลุ่มตัวอย่างดังกล่าวก็จะมีการกระจายตัวเป็นแบบปกติตามประชากรคือขึ้นกัน แต่นั่นก็ไม่ใช่กฎตายตัว เป็นไปได้ที่ตัวอย่างที่สุ่มออกมามีการกระจายตัวไม่เป็นแบบปกติ (Non-normal distribution) ซึ่งนั่นก็ไม่ใช่ประเด็นปัญหาหากว่าเราไม่ได้นำข้อมูลไปทำการอนุนาณกลับไปหาประชากรอีกที่ เมื่อได้ก็ตามที่ต้องการนำข้อมูลของสิ่งตัวอย่างไปทำการอนุนาณถึงประชากร เราจะต้องแน่ใจว่าข้อมูลดังกล่าว มีการกระจายตัวเป็นแบบปกติเสมอ หากไม่ เช่นนั้น การทดสอบสมมติฐานหรือการอนุนาณ ด้วยเครื่องมือทางสถิติอื่นๆ ก็จะให้ผลคลาดเคลื่อนตั้งแต่ น้อยจนถึงไม่อาจยอมรับได้ ขึ้นอยู่กับลักษณะความไม่เป็นการกระจายแบบปกติ เมื่อเป็นเช่นนี้การทดสอบว่าข้อมูลของสิ่งตัวอย่างที่ได้มานั้นมีการกระจายแบบปกติหรือไม่

โดยมีหลักว่าถ้าข้อมูลมีการกระจายแบบปกติ (Normal Distribution) แล้วจุดตัดจะเรียงตัวกันเป็นแนวเส้นตรง และลักษณะการเกิดจุดจะต้องไม่กระชุกเป็นกลุ่มๆ และความห่างระหว่าง

จุดแค่ละจุดต้องใกล้เคียงกันเป็นส่วนใหญ่ แต่แน่นอนว่าค่ามีการอยู่ห่างจากเส้นมากน้อยแตกต่างกันไปบ้าง



รูปที่ 2.6 ตัวอย่างการกระจายแบบปกติของข้อมูล

ที่มา : http://www.statistics.ob.tc/normal_test.htm

2.6.2 การวิเคราะห์สถิติของตัวแบบผลกระบวนการที่มีค่าคงที่ (Fixed Effect Model)

กำหนดให้ $y_{i..}$ แทน ผลรวมของข้อมูลการทดลองที่ระดับ i ของตัวแปร A

$y_{.j.}$ แทน ผลรวมของข้อมูลการทดลองที่ระดับ j ของตัวแปร B

$y_{ij.}$ แทน ผลรวมของข้อมูลการทดลองใน ij ไดๆ

$y_{...}$ แทน ผลรวมของข้อมูลการทดลองทุกๆ ข้อมูล

และ

$\bar{y}_{i..}$ แทน ค่าเฉลี่ยของข้อมูลการทดลองที่ระดับ i ของตัวแปร A

$\bar{y}_{.j.}$ แทน ค่าเฉลี่ยของข้อมูลการทดลองที่ระดับ j ของตัวแปร B

$\bar{y}_{ij.}$ แทน ค่าเฉลี่ยของข้อมูลการทดลองใน ij ไดๆ

$\bar{y}_{...}$ แทน ค่าเฉลี่ยของข้อมูลการทดลองทุกๆ ข้อมูล

สามารถเขียนแทนได้โดยตัวแบบกมิตศาสตร์คือ

$$y_{i..} = \sum_{j=1}^b \sum_{k=1}^n y_{ijk} \quad ; \quad i = 1, 2, 3, \dots, a \quad (2.2)$$

$$y_{.j.} = \sum_{i=1}^a \sum_{k=1}^n y_{ijk} \quad ; \quad j = 1, 2, 3, \dots, b \quad (2.3)$$

$$y_{ij.} = \sum_{k=1}^n y_{ijk} \quad ; \quad i = 1, 2, 3, \dots, a \quad (2.4)$$

$$y_{...} = \sum_{i=1}^a \sum_{j=1}^b \sum_{k=1}^n y_{ijk} \quad ; \quad j = 1, 2, 3, \dots, b \quad (2.5)$$

$$\bar{y}_{i..} = \frac{y_{i..}}{bn} \quad ; \quad i = 1, 2, 3, \dots, a \quad (2.6)$$

$$\bar{y}_{.j.} = \frac{y_{.j.}}{an} \quad ; \quad j = 1, 2, 3, \dots, b \quad (2.7)$$

$$\bar{y}_{ij.} = \frac{y_{ij.}}{n} \quad ; \quad i = 1, 2, 3, \dots, a \quad (2.8)$$

$$\bar{y}_{...} = \frac{y_{...}}{abn} \quad ; \quad j = 1, 2, 3, \dots, b \quad (2.9)$$

พิจารณาความผิดพลาดในการได้เป็นส่วนต่างๆ ของค้างนี้

$$\begin{aligned} \sum_{i=1}^a \sum_{j=1}^b \sum_{k=1}^n (y_{ijk} - \bar{y}_{...})^2 &= bn \sum_{i=1}^a (\bar{y}_{i..} - \bar{y}_{...})^2 + an \sum_{j=1}^b (\bar{y}_{.j.} - \bar{y}_{...})^2 + \\ &n \sum_{i=1}^a \sum_{j=1}^b (\bar{y}_{ij.} - \bar{y}_{i..} - \bar{y}_{.j.} + \bar{y}_{...})^2 + \sum_{i=1}^a \sum_{j=1}^b \sum_{k=1}^n (y_{ijk} - \bar{y}_{ij.})^2 \end{aligned} \quad (2.10)$$

กำหนดให้

SS ของตัวแปรແຕວหรือตัวแปร A

แทนค่าวัยสัญลักษณ์ SS_A

SS ของตัวแปรຄอລິນ໌หรือตัวแปร B

แทนค่าวัยสัญลักษณ์ SS_B

SS ของความสัมພันธ์ระหว่างตัวแปร A และ B

แทนค่าวัยสัญลักษณ์ SS_{AB}

SS ของความผิดพลาด (Error or Residuals)

แทนค่าวัยสัญลักษณ์ SS_E

จากค้างนี้ความเมื่องของสมการ (2.11) สามารถเขียน

แทนค่าวัยสัญลักษณ์คังต่อไปนี้

$$SS_T = SS_A + SS_B + SS_{AB} + SS_E \quad (2.11)$$

โดยมีค่าองศาเสรี (Degree of Freedom, df) ดังนี้

ตารางที่ 2.4 ค่าองศาเสรี

ผลกรบทบทจากตัวแปรหรือความสัมພันธ์ร่วม	องศาเสรี
A	a-1
B	b-1
AB	(a-1)(b-1)
Error	ab(n-1)
Total	Abn-1

และผลรวมกำลังสอง (Sum of Square) สามารถสรุปได้ดังนี้คือ

$$SS_T = \sum_{i=1}^a \sum_{j=1}^b \sum_{k=1}^n y_{ijk}^2 - \frac{\bar{y}_{..}^2}{abn} \quad (2.12)$$

$$SS_A = \sum_{i=1}^a \frac{\bar{y}_{i..}^2}{bn} - \frac{\bar{y}_{..}^2}{abn} \quad (2.13)$$

$$SS_B = \sum_{j=1}^b \frac{\bar{y}_{.j}^2}{an} - \frac{\bar{y}_{..}^2}{abn} \quad (2.14)$$

$$SS_{subtotals} = \sum_{i=1}^a \sum_{j=1}^b \frac{\bar{y}_{ij.}^2}{n} - \frac{\bar{y}_{..}^2}{abn} \quad (2.15)$$

$$SS_{AB} = SS_{subtotals} - SS_A - SS_B \quad (2.16)$$

$$SS_E = SS_T - SS_{AB} - SS_A - SS_B \quad (2.17)$$

และจะทำให้สามารถเขียนตารางวิเคราะห์ความแปรปรวน (ANOVA) ของการออกแบบ การทดลองแบบแฟกทอร์เรียลครอส 2 ตัวแปร และเป็นตัวแบบผลกระทบคงที่ได้ดังนี้

ตารางที่ 2.5 ตารางวิเคราะห์ความแปรปรวน (ANOVA)

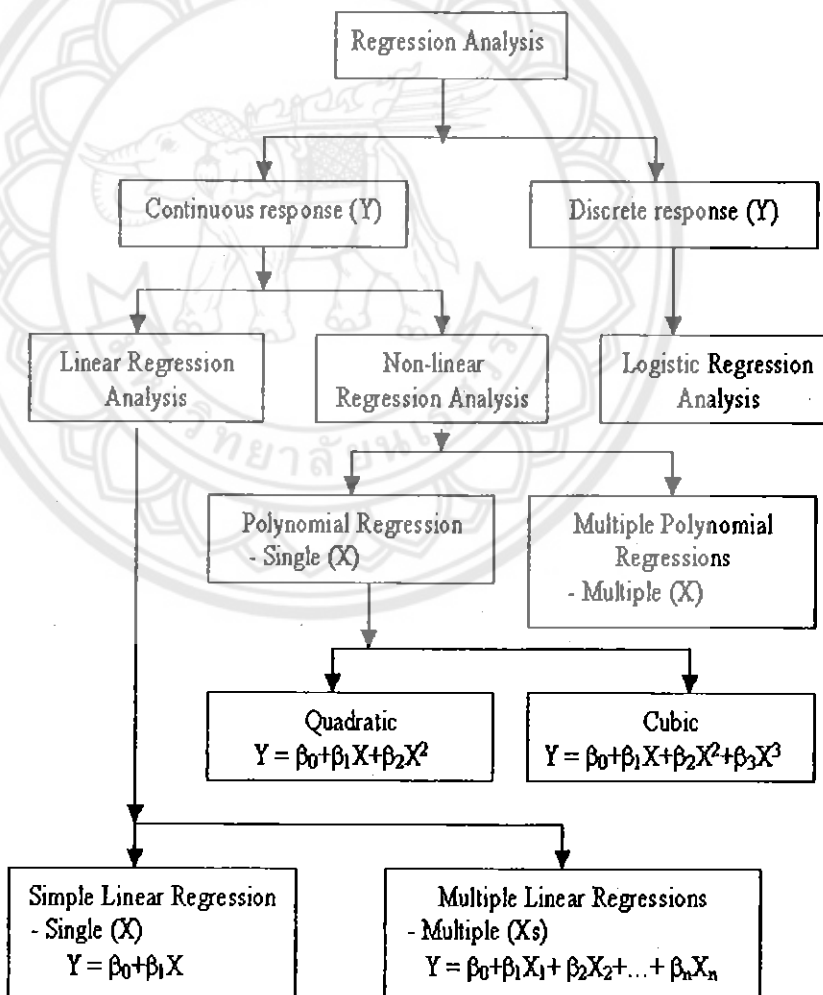
Source of Variation	SS	Degree of Freedom	MS	F_0
A	SS_A	$a-1$	$\frac{SS_A}{a-1}$	$f_0 = \frac{MS_A}{MS_E}$
B	SS_B	$b-1$	$\frac{SS_B}{b-1}$	$f_0 = \frac{MS_B}{MS_E}$
AB-Interaction	SS_{AB}	$(a-1)(b-1)$	$\frac{SS_{AB}}{(a-1)(b-1)}$	$f_0 = \frac{MS_{AB}}{MS_E}$
Error	SS_E	$ab(n-1)$	$\frac{SS_E}{ab(n-1)}$	
Total	SS_T	$abn-1$		

ที่มา : พงศ์ชนัน พลีวงศ์, การออกแบบการทดลอง, 2546

2.7 การวิเคราะห์การถดถอย (Regression Analysis) [9]

การวิเคราะห์การถดถอยเป็นเครื่องมือที่ใช้สำหรับประเมินความสัมพันธ์ของตัวแปรต้นคัวเดียวหรือหลายตัวคือ X_1, X_2, \dots, X_k กับตัวแปรตามชนิดต่อเนื่องที่มีตัวเดียว Y ใช้มากทั้งในสถานการณ์ที่ไม่สามารถควบคุมตัวแปรต้น และในการทดลองที่สามารถควบคุมตัวแปรต้นได้ ถ้าหากมีตัวแปรต้นตัวเดียวจะเรียกการถดถอยอย่างง่าย หากมีตัวแปรต้น 2 ตัวขึ้นไปจะเรียกการถดถอยพหุคุณ

การวิเคราะห์การถดถอยใช้สำหรับการหารูปแบบของความสัมพันธ์ระหว่างตัวแปรตามกับตัวแปรต้น เพื่อใช้ในการทำนายหรือประมาณค่าตัวแปรตามที่สนใจศึกษา เมื่อกำหนดตัวแปรต้นตัวอื่นมาให้ ทางคณิตศาสตร์จัดทำโปรแกรมจึงเลือกใช้วิธีการวิเคราะห์การถดถอยพหุคุณ ในการวิเคราะห์ความสัมพันธ์ของอุณหภูมิ และเวลาที่มีผลต่อค่าความแข็ง



รูปที่ 2.7 การจัดแบ่ง Regression Analysis ตามชนิดของข้อมูลที่ต้องการจะวิเคราะห์
ที่มา : http://www.geocities.com/chalong_sri/reg1.htm

2.7.1 การวิเคราะห์การถดถอยพหุคูณ (Multiple Regression)

ในการวิเคราะห์การถดถอยข่ายจะเป็นการวิเคราะห์กับตัวแปรตาม (Y) โดยมีตัวแปรต้น (X) เพียงตัวเดียว การใช้ตัวแปรต้นเพียงตัวเดียวจะไม่มีประสิทธิภาพพอที่จะอธิบายตัวแปรตามได้ ในกรณีที่จะพยากรณ์อธิบายสัดส่วนความแปรปรวนของตัวแปรตามได้อย่างมีประสิทธิภาพ จำเป็นต้องมีตัวแปรต้นมากกว่า 1 ตัว ซึ่งจะนำไปสู่การวิเคราะห์การถดถอยพหุคูณเมื่อมีตัวแปรต้นตั้งแต่ 2 ตัวขึ้นไป ใช้ในการทำนายตัวแปรตาม ซึ่งโดยปกติตัวแปรต้นจะใช้สัญลักษณ์ X และตัวแปรตามจะใช้สัญลักษณ์ Y

2.7.2 ขั้นตอนการวิเคราะห์การถดถอย

2.7.2.1 ตรวจสอบว่าตัวแปร X และ Y มีความสัมพันธ์กันเชิงเส้นหรือไม่

2.7.2.2 สร้างสมการการพยากรณ์ เพื่อใช้สำหรับการประมาณค่า Y

2.7.2.3 ตรวจสอบข้อตกลงเบื้องต้นของการวิเคราะห์ความถดถอยเชิงเส้นของตัวแปรทั้งสอง โดยทำการตรวจสอบว่าสมการพยากรณ์มีความเหมาะสมที่จะนำไปใช้งานอย่างใด ดูจากค่าสัมประสิทธิ์การกำหนด (The Coefficient of Determination) ค่าความคลาดเคลื่อนมาตรฐานของการประมาณ (Standard Error of the Estimate) และการวิเคราะห์ความแตกต่างของค่าความแข็งจากการทดลองและการพยากรณ์

2.7.3 ค่าสถิติที่ใช้ในการวิเคราะห์

2.7.3.1 ค่าสัมประสิทธิ์การกำหนด (The Coefficient of Determination)

- เกิดจากการนำค่าสัมประสิทธิ์สหสัมพันธ์ยกกำลังสอง

- ใช้แสดงความแปรผันที่จะเกิดขึ้นกับตัวแปร Y มีผลเนื่องมาจากการ X คิดเป็นกี่เปอร์เซ็นต์

๑๖๐๖๐๒๐๕

๙๖.

๗๖๔๙๑

๒๕๕๒

- ใช้ศึกษาว่าสมการการประมาณค่ามีความเหมาะสมที่จะนำไปใช้งานหรือไม่
- ค่าที่คำนวณได้จะอยู่ในช่วงระหว่าง 0 ถึง 1
- สัญลักษณ์ที่ใช้คือ R^2

- ในกรณีที่ค่า R^2 มีค่าเข้าใกล้ 1 แสดงว่า ตัวแปร X มีอิทธิพลต่อตัวแปร Y อ่อนน้ำใจ หมายความว่า สมการการประมาณค่าจะมีความเหมาะสมที่จะนำไปใช้งานได้มาก

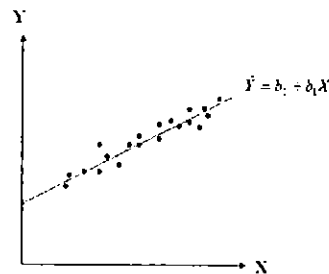
- ในกรณีที่ค่า R^2 มีค่าเข้าใกล้ 0 แสดงว่า ตัวแปร X มีอิทธิพลต่อตัวแปร Y น้อยมาก หมายความว่า สมการการประมาณค่าจะมีความเหมาะสมที่จะนำไปใช้งานได้น้อย

2.7.3.2 ค่าความคลาดเคลื่อนมาตรฐานของการประมาณ (Standard Error of the

Estimate)

- เป็นค่าคลาดเคลื่อนที่เกิดจากการประมาณค่า Y ด้วย \hat{Y}

- สัญลักษณ์ที่ใช้คือ S_{YX}



รูปที่ 2.8 ค่าความคาดเดื่อนมาตรฐานของการประมาณ $S_{YX} > 0$

2.7.4 การวิเคราะห์ความแตกต่างของค่าความเบี่ยงเบนมาตรฐานและการพยากรณ์

สถิติ t-test ใช้ทดสอบความแตกต่างของค่าความเบี่ยงเบนมาตรฐานของกลุ่มตัวอย่าง 2 กลุ่ม ใช้สำหรับการทดสอบข้อมูลที่มีการแจกแจงแบบปกติ (Normal Distribution)

ขั้นตอนการทดสอบสมมติฐาน

1) ตั้งสมมติฐาน

H_0 : ค่าเฉลี่ยของประชากรของ 2 กลุ่มเท่ากัน คือ $\mu_1 = \mu_2$

H_1 : ค่าเฉลี่ยของประชากรของ 2 กลุ่มแตกต่างกัน คือ $\mu_1 \neq \mu_2$

2) กำหนดระดับนัยสำคัญของการทดสอบ $\alpha = 0.05$

3) เลือกตัวสถิติที่เหมาะสม

ความแปรปรวนของประชากรเท่ากัน คือ $\sigma_1^2 = \sigma_2^2$

$$\text{ตัวสถิติ : } t = \frac{\sum D}{\sqrt{\frac{N \sum D^2 - (\sum D)^2}{N-1}}} \quad (2.18)$$

เมื่อ t = ความแตกต่างของค่าความเบี่ยงเบนมาตรฐานและการคำนวณ

D = ความแตกต่างของค่าความเบี่ยงเบนมาตรฐานและการคำนวณของแต่ละค่า

$\sum D$ = ผลรวมของความแตกต่างของค่าความเบี่ยงเบนมาตรฐานและการคำนวณของทุกค่า

D^2 = ความแตกต่างของค่าความเบี่ยงเบนมาตรฐานและการคำนวณของแต่ละค่ายกกำลังสอง

$(\sum D)^2$ = ผลรวมของความแตกต่างของค่าความเบี่ยงเบนมาตรฐานและการคำนวณของทุกค่ายกกำลังสอง

$N \sum D^2 = \text{จำนวนค่าความแข็ง คูณ ผลรวมของความแตกต่างของค่าความแข็งจาก การทดสอบและการคำนวณของทุกค่ายกกำลังสอง}$

$N-1 = \text{จำนวนค่าความแข็ง ลบ } 1$

4) สร้างกฎการตัดสินใจ นั่นคือ ปฏิเสธ H_0 ถ้า $t_{(\text{ตัวอย่าง})} > t_{(\text{ตาราง})}$ หรือ $t_{(\text{ตัวอย่าง})} < -t_{(\text{ตาราง})}$

5) คำนวณค่าสถิติ (t) จากกลุ่มตัวอย่าง

6) ตัดสินและตีความ $|t_{(\text{ตัวอย่าง})}| > t_{(\text{ตาราง})}$ ดังนั้น เราปฏิเสธ H_0 และขอนรับ H_1 ให้ผลว่าหัว ส่องกลุ่มแตกต่างกันอย่างมีนัยสำคัญ หากผลการทดสอบสมนตฐานได้ผลว่าเราไม่ปฏิเสธ H_0 นั่น คือ ค่าเฉลี่ยของกลุ่มตัวอย่างแตกต่างกันแต่ค่าเฉลี่ยของประชากร ไม่แตกต่างกัน โดยที่ค่าเฉลี่ยของ กลุ่มตัวอย่างที่แตกต่างกันเป็นความคลาดเคลื่อน

2.8 เอกสารและงานวิจัยที่เกี่ยวข้อง

จากเอกสารการประชุมวิชาการเครือข่ายวิศวกรรมเครื่องกลแห่งประเทศไทยครั้งที่ 18 ปี 2547 โดย นายอาทิติ หาทรัพย์ และนายมนคล มงคลวงศ์โรจน์ ได้ทำการศึกษาผลของรอบบากที่มีต่ออายุ ของชิ้นส่วนนับแรงดามแหน่งแกนที่ทำจากวัสดุ เอไอเอ 4140 อุณหภูมิ 7075 และ โพลีเอโอมิค 6 โดยในส่วนหนึ่งของงานวิจัยสรุปไว้ว่า เหล็กจะไห่ AISI 4140 หรือ SCM440 ตามมาตรฐาน JIS ซึ่งมีชื่อเรียกทางการค้าว่า เหล็กหัวฟ้าซึ่งเป็นเหล็กกล้าผิวสน屁股อนปานกลาง ร้อยละ 0.38ถึง0.43 เหล็กชนิดนี้มีความสามารถที่ดีมากในการชุบแข็ง ความแข็งหลังชุบประมาณ 54 – 59 HRc

จากเอกสารทางวิชาการของบริษัทไทย – เยอร์นันสเปเชียลสตีลเซ็นเตอร์ จำกัด เกี่ยวกับเหล็ก AISI 4140 ได้สรุปไว้ว่า การชุบแข็งเหล็ก AISI 4110 ที่อุณหภูมิ 820 – 860 องศาเซลเซียส โดยใช้ สารชุบนำ้หรือน้ำมัน จะทำให้ได้ความเหล็ก AISI 4140 ที่ผ่านการชุบแข็งอยู่ที่ 55 – 60 HRc

และการประชุมวิชาการข่ายงานวิศวกรรมอุตสาหกรรม 2550 โดย นายสมศักดิ์ แก้วพลอย ได้ทำการศึกษาภาวะที่เหมาะสมในการอบชุบเหล็กกล้าผิวสนด้วยความร้อน เพื่อศึกษาหาค่าเวลา และอุณหภูมิที่เหมาะสม ที่จะให้ค่าความแข็งและความหนึ่ง夷ว่าที่ใช้งานได้ดีที่สุด โดยนำชิ้นทดสอบ ที่ผ่านการชุบแข็งที่ระดับอุณหภูมิ 850°C ชุบแข็งด้วยน้ำมัน มาทำการอบคืนตัว โดยใช้ช่วงอุณหภูมิ ระหว่าง 250°C - 650°C ซึ่งเพิ่มระดับอุณหภูมิขึ้นครั้งละ 100°C ใช้เวลาในการอบคืนตัว 3 ระดับ คือ 30 นาที 60 นาที และ 90 นาที จากนั้นทำการวัดค่าความแข็ง และค่าพลังงานกระแทก จากการ วิเคราะห์ผลการทดสอบพบว่า อุณหภูมิและเวลาในการอบคืนตัวมีผลต่อค่าพลังงานกระแทก ส่วน อุณหภูมนี้มีผลต่อค่าความแข็ง และเวลาในการอบคืนตัวไม่มีผลต่อค่าความแข็ง ดังนั้นจะได้ว่า อุณหภูมิที่ให้ค่าความแข็งและความหนึ่ง夷ว่าที่ใช้งานได้ดีที่สุดคือที่ระดับ 550°C และเวลาในการอบ คืนตัวที่ 60 นาที

บทที่ 3

วิธีดำเนินโครงการ

3.1 ศึกษาและรวบรวมข้อมูล

การศึกษาและรวบรวมข้อมูลจะเป็นการศึกษาและรวบรวมข้อมูลซึ่งจะเกี่ยวกับงานวิจัยทั้งหมดโดยแหล่งข้อมูลจะได้มามาจากสื่อทางอินเทอร์เน็ต และหนังสือเป็นหลัก

3.1.1 ศึกษาและรวบรวมข้อมูลของเหล็กกล้าคาร์บอน

ศึกษาเกี่ยวกับชนิดของเหล็กกล้าคาร์บอนว่ามีกี่ประเภท แต่ละประเภทแตกต่างกันอย่างไรและเหล็กที่ใช้ในการทดสอบอยู่ในประเภทใดเพื่อที่จะเลือกระดับปัจจัยทำการทดสอบได้ถูกต้อง

3.1.2 ศึกษาและรวบรวมข้อมูลเหล็ก AISI 4140

ศึกษาเกี่ยวกับพสมของธาตุต่างๆ ที่นำมาผลิตเป็นเหล็ก AISI 4140 และคุณสมบัติของเหล็กรวมถึงการนำไปใช้งานของเหล็กประเภทนี้

3.1.3 ศึกษาและรวบรวมข้อมูลการชุบแข็ง

ศึกษาเกี่ยวกับการอบชุบแข็งเพื่อต้องการให้เหล็กหลังการชุบนิ่กวิเคราะห์เพิ่มเข้มข้นทันท่วงที่ต้องการเสียดสีในขณะใช้งาน และโครงสร้างสุดท้ายที่ได้ของเหล็ก คือ นาร์เต่น ไซท์หรือเบนไนท์

3.1.4 ศึกษาและรวบรวมข้อมูลการวัดค่าความแข็ง

ศึกษาเกี่ยวกับการทดสอบความแข็งแบบร็อกเวลส์เกล C ซึ่งหัวกจนีรูปทรงกรวยทำด้วยเพชรที่มีนูนยอดเท่ากับ 120 องศา ใช้สำหรับวัดค่าความแข็งสำหรับเหล็กที่ผ่านการชุบแข็งมาแล้ว

3.1.5 ศึกษาและรวบรวมข้อมูลการออกแบบการทดสอบแบบแฟคทอร์เรียลเติ่มรูป

ศึกษาการกำหนดปัจจัยที่ใช้ในการทดสอบและหาขนาดการทดสอบแบบแฟคทอร์เรียลเติ่มรูป ปัจจัยที่ 2 ระดับ เพื่อกำนัณหาจำนวนจุดในการวัดความแข็งของชิ้นงาน โดยใช้การทดสอบความแข็งของร็อกเวล

3.2 การออกแบบการทดสอบ

โครงการวิจัยนี้ต้องการศึกษาอิทธิพลของอุณหภูมิและเวลาที่มีผลผลกระทบต่อค่าความแข็งของเหล็ก AISI 4140 ที่ผ่านการชุบแข็ง จึงได้ออกแบบการทดสอบแบบแฟคทอร์เรียลเติ่มรูป ปัจจัยที่ 2 ระดับ เพราะงานวิจัยนี้เป็นการทดสอบที่ทำขึ้นเพื่อศึกษาผลกระทบระหว่างปัจจัยดังต่อ 2 ปัจจัยโดยมีหลักการเลือกปัจจัย โดยมีวัตถุประสงค์ คือ ต้องการศึกษาผลกระทบร่วม และกำหนดระดับของปัจจัยดังนี้

3.2.1 การกำหนดปัจจัย

ปัจจัยที่มีผลกระต่อความแข็งของเหล็ก AISI 4140 ที่ผ่านการชุบแข็ง มีดังนี้

3.2.1.1 อุณหภูมิก่อนการชุบ คือ อุณหภูมิที่เหล็กจะต้องเปลี่ยนเป็นօอสเทนในที่ ก่อนการชุบน้ำหรือน้ำมัน ถ้าอุณหภูมิของเหล็กไม่สูงพอนทำให้โครงสร้างเปลี่ยนเป็นօอสเทนในที่ หมดแล้วความแข็งที่ได้มีสูงเท่าที่ควร (มนัส สติรจินดา, 2537)

3.2.1.2 เวลาที่ใช้ในการอบชิ้นงาน เพราะถ้าเหล็กอยู่ในเตาที่อุณหภูมิสูงนาน จะทำให้เกรนของօอสเทนในตัวจะมีการขยายตัวมีผลทำให้ความแข็งลดลง (มนัส สติรจินดา, 2537)

3.2.1.3 ปริมาณคาร์บอนที่ผสมอยู่ในเหล็ก การที่օอสเทนในที่จะเป็นมาร์เกนไซด์ ได้ในลักษณะการชุบแข็งธรรมชาติ คำนึงน้ำเหล็กต้องมีคาร์บอนมากกว่า ร้อยละ 0.3 (มนัส สติรจินดา, 2537)

3.2.1.4 สารชุบ (อัตราการเย็นตัว) ถ้าจะทำให้ออสเทนในที่เปลี่ยนไปเป็นมาร์เกนไซด์ หรือเป็นในที่ จะต้องเป็นอัตราการเย็นตัวที่สูงพอ (มนัส สติรจินดา, 2537)

สำหรับโครงงานนี้ปัจจัยที่เลือกใช้ในการทดสอบมีสองปัจจัย ดังนี้

1) อุณหภูมิก่อนการชุบ

อุณหภูมิชิ้นงาน (ก่อนทำการชุบ) เหตุผลที่ทำการเลือกอุณหภูมิชิ้นงาน (ก่อนทำการชุบ) มาเป็นปัจจัยในการศึกษาและทดลอง เพราะ ปัจจัยอุณหภูมิชิ้นงาน (ก่อนทำการชุบ) สามารถควบคุมระดับของอุณหภูมิที่ทำการทดสอบได้อย่างถูกต้องและแม่นยำโดยจะทำการปรับระดับของอุณหภูมิที่เทาบนเหล็กได้ตามต้องการ

2) เวลาที่ใช้ในการอบชิ้นงาน

เวลาที่ใช้ในการอบชิ้นงาน เหตุผลที่ทำการเลือกเวลาที่ใช้ในการอบชิ้นงาน มาเป็นปัจจัยในการศึกษาและทดลอง เพราะ ปัจจัยเวลาที่ใช้ในการอบชิ้นงาน สามารถควบคุมระดับของเวลาที่ทำการทดสอบได้อย่างถูกต้องและแม่นยำ โดยจะทำการจับเวลาได้ตามต้องการ

ส่วนปัจจัยที่ไม่ได้นำมาทำการศึกษา เพราะ ปริมาณคาร์บอนจะผสมอยู่ในเหล็กไม่สามารถเพิ่มหรือลดได้และเหล็ก AISI 4140 จะมีช่วงคาร์บอนที่แน่นอน ไม่สามารถเปลี่ยนแปลงได้ และเราต้องมีการควบคุมปัจจัยโดยการเลือกเหล็ก AISI 4140 ที่มาจากแหล่งผลิตเดียวกัน ส่วนสารชุบ (อัตราการเย็นตัว) เป็นปัจจัยที่บ่งบอกความแตกต่างของค่าความแข็งเมื่อเปลี่ยนสารชุบ ได้ไม่ชัดเจนและสารชุบทั่วชนิดก็มีข้อจำกัดในการทดสอบ และเราต้องมีการควบคุมปัจจัยโดยการนำสารชุบมาใส่ในภาชนะทึบไว้ประมาณ 24 ชั่วโมง เพื่อปรับระดับของอุณหภูมิของสารชุบให้อยู่ที่อุณหภูมิห้อง

3.2.2 ระดับของปัจจัย

จากข้อมูลในบทที่ 2 รูปที่ 2.1 แผนภาพสมดุลเหล็ก – คาร์บอน จะเห็นว่าอุณหภูมิที่จะทำให้เหล็กที่มีเปอร์เซ็นต์คาร์บอนร้อยละ 0.38 - 0.43 มีเฟสเดียวกันคือ 800 – 1,394 องศาเซลเซียส ดังนั้นผู้วิจัยจึงได้เลือกช่วงอุณหภูมิในช่วงดังกล่าวนั้นนำมาทำการทดลองกับเหล็ก AISI 4140 ที่มีเปอร์เซ็นต์คาร์บอนร้อยละ 0.38 จำนวน 3 ระดับอุณหภูมิ คือ 850 องศาเซลเซียส 950 องศาเซลเซียส และ 1,050 องศาเซลเซียส เพื่อทำการทดลองคือศึกษาอิทธิพลของอุณหภูมิที่มีผลต่อการเปลี่ยนแปลงค่าความแข็งของเหล็ก AISI 4140 ที่มีเปอร์เซ็นต์คาร์บอนร้อยละ 0.38 – 0.43 (มนัส สติรจินดา, 2537)

เนื่องจากเวลาที่ใช้ในการทำให้เหล็กมีความร้อนเท่ากันทั้งก้อนต้องใช้เวลา 60 นาทีต่อความหนาของเหล็ก 1 มิลลิเมตร ดังนั้น ในการกำหนดช่วงเวลาในการให้ความร้อนกับเหล็ก AISI 4140 ที่มีความหนา 1 มิลลิเมตรจึงมีการกำหนดเวลาในการให้ความร้อนตั้งแต่ 60 นาที เป็นต้นไป โดยเลือกเวลา 3 ระดับ คือ การให้ความร้อนที่เวลา 60 นาที และเพิ่มระดับขึ้นไปอีก ครึ่งชั่วโมง นาที เท่าๆ กัน เพราะต้องการทราบว่า เมื่อเวลาผ่านไปจะทำให้เหล็กที่ผ่านการอบระดับเวลา 60 นาที มาแล้วนั้นค่าความแข็งจะเปลี่ยนแปลงไปมากน้อยเพียงใด และปัจจัยด้านเวลาจะมีอิทธิพลต่อค่าความแข็งของเหล็ก AISI 4140 ที่ผ่านการชุบแข็ง หรือไม่ (มนัส สติรจินดา, 2537)

สรุปได้ว่า ใน การศึกษาอิทธิพลของเวลาที่มีผลต่อค่าความแข็งของเหล็ก AISI 4140 ที่ผ่านการชุบแข็ง ได้ออกแบบการทดลอง แบบ 2 ปัจจัย คือ

3.2.2.1 อุณหภูมิ ซึ่งมีระดับปัจจัย 3 ระดับ คือ 850 องศาเซลเซียส 950 องศาเซลเซียส และ 1,050 องศาเซลเซียส

3.2.2.2 เวลา ซึ่งมีระดับปัจจัย 3 ระดับ คือ 60 นาที 90 นาที และ 120 นาที

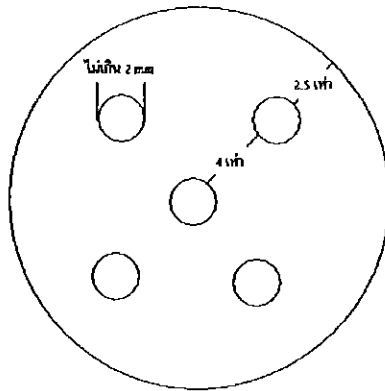
3.2.3 ขนาดการทดลอง

ในการทดสอบความแข็งตามหลัก ASTM E18-03 ขนาดความหนาชิ้นงานทดสอบ จะต้องมีขนาด 10 เท่าของความลึกรอยกด ซึ่งการทดสอบความแข็งโดยมาตรฐานร็อกเวลสเกล C นั้น จะมีรอยลึกไม่เกิน 1 มิลลิเมตร (มนัส พันธุ์ราษฎร์, 2537) และยังทำให้การมัดลวดหรือการหยนออกจากเตาเป็น ได้อย่างสะดวก

การทดสอบความแข็งโดยมาตรฐานร็อกเวลสเกล C ซึ่งใช้วัสดุเหล็กกล้าที่ผ่านการชุบแข็ง โดยหัวกดครุประทานรำคำหัวเพชรที่มีขอดมุมเท่ากับ 120 องศา และกำหนดให้

3.2.3.1 ระยะห่างระหว่างรอยกด (วัดจากศูนย์กลางรอยกด) จะต้องมากกว่า 4 เท่าของรอยกด แต่ต้องไม่ต่ำกว่า 2 มิลลิเมตร (มนัส พันธุ์ราษฎร์, 2537)

3.2.3.2 รอยกดที่อยู่ห่างจากขอบชิ้นงานควรจะต้องมีระยะห่างอย่างต่ำ 2.5 เท่าของเส้นผ่านศูนย์กลางรอยกดแต่ไม่ต่ำกว่า 1 มิลลิเมตร (มนัส พันธุ์ราษฎร์, 2537)



รูปที่ 3.1 การกำหนดคุณภาพสอบความแข็ง

3.2.4 สมมติฐานของการทดลอง

ให้ H_0 : อุณหภูมิและเวลาในการอบให้ความร้อนชิ้นงานไม่มีผลต่อค่าความแข็งของเหล็ก AISI 4140

H_1 : อุณหภูมิและเวลาในการอบให้ความร้อนชิ้นงานมีผลต่อค่าความแข็งของเหล็ก AISI 4140

$$\begin{array}{ll} \text{เมื่อ} & \text{อุณหภูมิ} = 850, 950, 1050 \text{ องศาเซลเซียส} \\ & \text{เวลา} = 60, 90, 120 \text{ นาที} \end{array}$$

3.2.5 กำหนดการทดลอง

ในการทดลองชิ้นงาน 1 ชิ้นจะทำการทดลองเพื่อทดสอบความแข็ง 5 ชุด โดยมีชิ้นงานทั้งหมด 9 ชิ้น และมีการทดลองซ้ำอีก 1 ครั้ง เพื่อตรวจสอบความถูกต้องของการทดลองว่าถูกต้องหรือไม่ เมื่อเปรียบเทียบกับการทดลองครั้งแรกและการทดลองซ้ำอีก 1 ครั้ง ยังจะมีความเหมาะสมเพียงพอ เพราะ งานวิจัยนี้มีการศึกษาทฤษฎีเป็นอย่างดี และทราบถึงปัจจัยที่มีความสำคัญในกระบวนการเปลี่ยนผ่าน จะทำให้มีการทดลองทั้งหมดเป็น 90 การทดลอง ดังแสดงในตารางที่ 3.1

ตารางที่ 3.1 จำนวนชิ้นงานทดสอบและจำนวนชุดที่ทดสอบ

เวลา (นาที)	อุณหภูมิ ($^{\circ}\text{C}$)			จำนวนชิ้นงาน (จำนวนชุดที่ทดสอบ)
	850	950	1,050	
60	2(5)	2(5)	2(5)	
90	2(5)	2(5)	2(5)	
120	2(5)	2(5)	2(5)	

3.3 การดำเนินการทดลอง

การทดลองจะมีการเตรียมข้อมูลและศึกษาวิธีและเทคนิคต่างๆ ที่จะทำให้การทดลองสำเร็จไปอย่างถูกต้อง โดยจะมีขั้นตอนของการเตรียมชิ้นงานในการทดลอง เตรียมอุปกรณ์ที่ใช้ในการทดลอง และวิธีดำเนินการทดลอง มีดังนี้

3.3.1 อุปกรณ์ในการทดลอง

3.3.1.1 เตาเผา

3.3.1.2 น้ำเปล่าใส่ภาชนะ

3.3.1.3 เครื่องทดสอบความแข็งแบบ Rockwell Hardness Testing : scale C

3.3.1.4 กระดาษทรายเบอร์ 160, 320, 400, 600 และ 800

3.3.1.5 ลวดนิโคลอน

3.3.1.6 กีมคีบชิ้นงาน

3.3.1.7 ถุงมือกันความร้อน

3.3.1.8 เครื่องขัดกระดาษทราย

3.3.1.9 ชิ้นงานทดสอบ

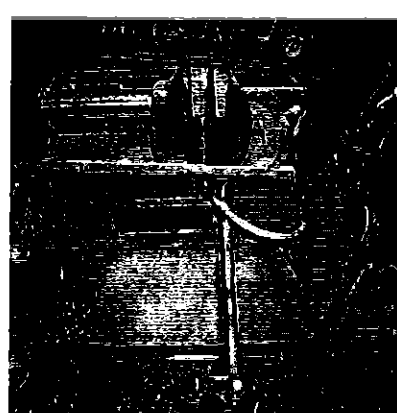
3.3.1.10 เลื่อยตัดเหล็กไฟฟ้า

3.3.1.11 เครื่องกลึง

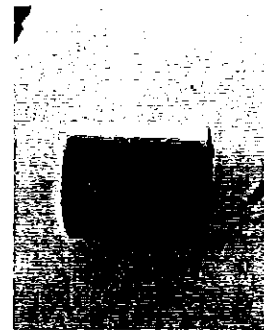
3.3.1.12 เครื่องปั๊ค

3.3.2 ขั้นตอนการเตรียมชิ้นงาน

3.3.2.1 นำเหล็ก AISI 4140 เส้นผ่าศูนย์กลางขนาด 1 นิ้ว ตัดด้วยเลื่อยตัดเหล็กไฟฟ้า ดังรูปที่ 3.2 ให้ได้ขนาดความกว้างยาว 1 นิ้ว ดังรูปที่ 3.3 จากนั้นนำเหล็กที่ได้มาทำการกลึงปิดหน้าแล้วลับมุมด้วยตะไบดังรูปที่ 3.4 จะได้ชิ้นงานสุดท้ายดังรูปที่ 3.5



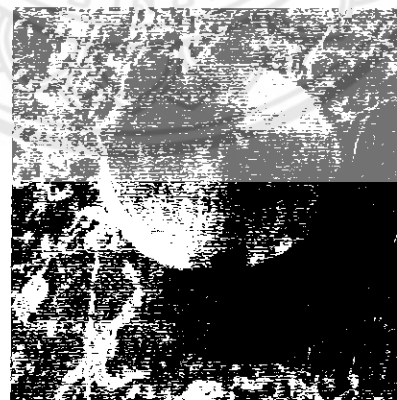
รูปที่ 3.2 การตัดชิ้นงาน



รูปที่ 3.3 ชิ้นงานที่ผ่านการตัด

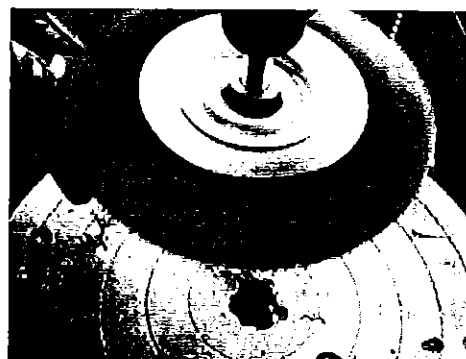


รูปที่ 3.4 การกลึงปัดหน้าและลบมุมชิ้นงาน



รูปที่ 3.5 ชิ้นงานที่ผ่านการกลึงปัดหน้าและลบมุม

3.3.2.2 นำชิ้นงานจากข้อที่ 3.3.2.1 มาทำการปิดดังรูปที่ 3.6 เพื่อจะทำให้การส่งผ่านความร้อนเป็นไปอย่างสมบูรณ์



รูปที่ 3.6 การบัดชิ้นงาน

3.3.2.3 มัดลวดที่ตัวชิ้นงานเพื่อที่จะทำการจับชิ้นงานออกหลังการอบให้ความร้อนได้โดยไม่ทำให้ชิ้นงานเสียหาย ดังรูปที่ 3.7



รูปที่ 3.7 การมัดชิ้นงาน

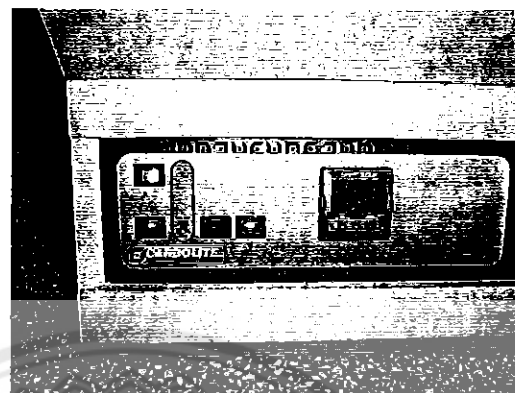
3.3.3 วิธีการทดลอง

3.3.3.1 นำชิ้นงานเหล็ก AISI 4140 จำนวน 3 ชิ้น ที่ได้จากข้อ 3.3.2 มาจัดเรียงเข้า เดาเพาโดยให้มีระยะห่างเท่าๆ กันในลักษณะสามเหลี่ยม เพราะจะทำให้ง่ายต่อการคืนจับได้ง่าย และ รวดเร็วและลดการเสียหายที่จะเกิดกับเดาเพา ดังรูปที่ 3.8



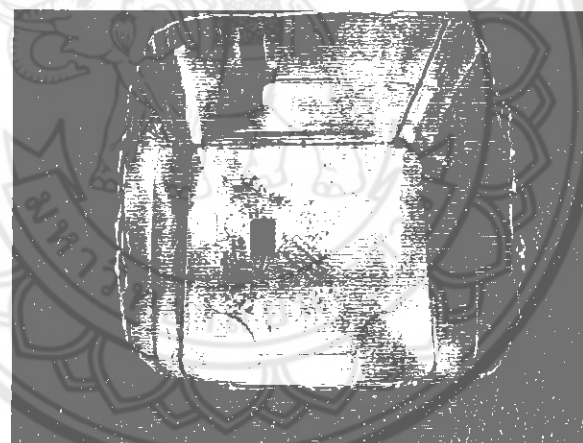
รูปที่ 3.8 การเรียงชิ้นงาน

3.3.3.2 ทำการปิดเตาแล้วปรับอุณหภูมิ ตามระดับอุณหภูมิที่ได้ออกแบบกราฟลงไว้ ตามตารางที่ 3.1 และเริ่มจับเวลาหันทีจนครบตามเวลาที่กำหนด ดังรูปที่ 3.9



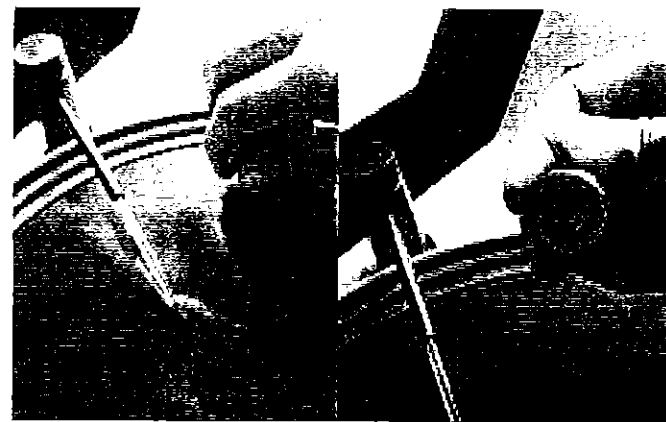
รูปที่ 3.9 เตาอบที่ทำการปรับค่าแล้ว

3.3.3.3 นำชิ้นงานที่ได้จากการอบจากเตาเผาไปทำการชุบแข็งด้วยน้ำเปล่า ดังรูปที่ 3.10



รูปที่ 3.10 ชิ้นงานที่ทำการชุบเสร็จ

3.3.3.4 นำชิ้นงานที่ผ่านการอบชุบในข้อที่ 3.3.3.3 ไปขัดด้วยกระดาษทรายให้ผิวชิ้นงานเรียบโดยไม่มีรอยค่า ดังรูปที่ 3.11



รูปที่ 3.11 การขัดซึ้นงานด้วยกระดาษทราย

3.3.3.5 นำชิ้นงานที่ได้จากข้อ 3.3.3.4 มาทำการทดสอบค่าความแข็งโดยใช้หลักการตามข้อที่ 3.2.3 ดังรูปที่ 3.12 จะได้เหล็กที่ทดสอบความแข็งแล้ว ดังรูปที่ 3.13



รูปที่ 3.12 การทดสอบค่าความแข็ง



รูปที่ 3.13 เหล็กที่ทดสอบความแข็งแล้ว

3.3.3.6 บันทึกผลการทดสอบในตารางบันทึกผลการทดสอบ ตารางที่ 3.2

ตารางที่ 3.2 ตารางบันทึกผลการทดสอบ

เวลา (นาที)	อุณหภูมิในการอบ (องศาเซลเซียส)	ค่าความแข็ง (HRC)				
		ค่าของ จุดที่ 1	ค่าของ จุดที่ 2	ค่าของ จุดที่ 3	ค่าของ จุดที่ 4	ค่าของ จุดที่ 5
60	850					
	950					
	1,050					
90	850					
	950					
	1,050					
120	850					
	950					
	1,050					

3.4 การวิเคราะห์ข้อมูล

3.4.1 ตรวจสอบคุณภาพของข้อมูล

เมื่อได้ทำการทดสอบตามที่ออกแบบไว้ก็จะได้ค่าความแข็งทั้งหมด 90 ค่า ซึ่งก่อนที่จะนำข้อมูลไปวิเคราะห์ต้องทำการตรวจสอบก่อนว่าข้อมูลที่ได้จากการทดสอบมีคุณภาพหรือไม่ โดยมีความจำเป็นต้องพิสูจน์ถึงคุณสมบัติของข้อมูล 3 ประการด้วยกันคือ

3.4.1.1 การตรวจสอบการกระจายแบบแยกแจงปกติ

ใช้โปรแกรมสำเร็จรูปทางสถิติในการวิเคราะห์ผล เพื่อตรวจสอบว่าข้อมูลนี้การแยกแจงแบบปกติหรือไม่ โดยพิจารณาจากกราฟที่ได้ถ้าข้อมูลมีการกระจายแบบปกติ (Normal Distribution) จุดต่างจะเรียงตัวกันเป็นแนวเส้นตรง และลักษณะการเกิดจุดจะต้องไม่กระชากเป็นกลุ่มๆ และความห่างระหว่างจุดแต่ละจุดจะต้องใกล้เคียงกันเป็นส่วนใหญ่ ถ้าจุดต่างๆ ของข้อมูลนี้การเรียงตัวตามลักษณะค้างกล่าว แสดงว่าข้อมูลที่ได้จากการทดสอบมีลักษณะเป็นการกระจายแบบปกติ

3.4.2.2 การตรวจสอบความเป็นอิสระของข้อมูล

ใช้โปรแกรมสำเร็จรูปทางสถิติในการวิเคราะห์ผล เพื่อตรวจสอบว่าข้อมูลมีความเป็นอิสระหรือไม่ โดยพิจารณาจากกราฟของ ส่วนตกค้าง (Residual) ของข้อมูล ถ้าค่าแต่ละชุดของส่วนตกค้างมีการกระจายอยู่รอบๆ เส้นศูนย์และส่วนตกค้าง (Residual) ที่น่าลงตา รอนสัน ศูนย์อย่างไม่มีแบบแผนที่แน่นอน แสดงว่ามีความเป็นอิสระของข้อมูล

3.4.2.3 การตรวจสอบความเสถียรของความแปรปรวน

ใช้โปรแกรมสำเร็จรูปทางสถิติ ในการวิเคราะห์ผล เพื่อตรวจสอบความเสถียร ของความแปรปรวน โดยพิจารณาจากส่วนตกค้าง (Residual) อยู่ภายใต้แนวโน้มของ 0 และ เป็นในลักษณะเป็นเส้นตรง จะแสดงให้เห็นว่าข้อมูลที่ได้จากการทดลองมีความเสถียรของความ แปรปรวน

3.4.2 วิเคราะห์ความสัมพันธ์ของอุณหภูมิและเวลา

ใช้โปรแกรมสำเร็จรูปทางสถิติในการวิเคราะห์ผล เพื่อศึกษาภาพแสดงความสัมพันธ์ ของอุณหภูมิและเวลาที่มีผลต่อความแข็งของเหล็ก AISI 4140 โดยเบื้องต้นจะดูแนวโน้มว่าทิศทาง ของความแข็งในลักษณะที่เป็นไปตามทฤษฎีหรือไม่

3.4.3 วิเคราะห์ความแปรปรวน (ANOVA)

ใช้โปรแกรมสำเร็จรูปทางสถิติในการวิเคราะห์ผล เพื่อศึกษาผลของอุณหภูมิและเวลาที่มี ต่อความแข็งของเหล็ก AISI 4140 ว่าปัจจัยที่นำมาทำการทดลองนั้นมีผลต่อค่าความแข็งหรือไม่ เพื่อที่จะสรุปได้ความสมมุติฐานที่ตั้งไว้ และเมื่อสรุปได้ว่าปัจจัยอุณหภูมิและเวลา มีผลต่อค่าความ แข็งแล้ว นำข้อมูลชุดเดียวกันไปทำการวิเคราะห์การทดลองต่อไป

3.4.4 วิเคราะห์การทดลองของข้อมูล

ใช้โปรแกรมสำเร็จรูปทางสถิติในการวิเคราะห์ผล เพื่อสร้างสมการทดลองแสดง ความสัมพันธ์ระหว่างค่าความแข็งกับอุณหภูมิ โดยจะมีค่าพารามิเตอร์ที่ได้จากการโปรแกรมสำเร็จรูป ทางสถิติ คือ ค่า R Square หรือค่าสัมประสิทธิ์การตัดสินใจ และค่าStd. Error of the Estimate หรือ ค่าความคลาดเคลื่อนของการพยากรณ์ โดยทุกพารามิเตอร์ที่ได้จะมีความน่าเชื่อถือได้นั้น ค่า P-value จะต้องน้อยกว่าค่านัยสำคัญที่กำหนด กล่าวคือ ตัวแปรต้นต้องมีผลกระแทกกับตัวแปรตาม

3.4.5 เปรียบเทียบค่าความแข็งที่ได้จากการทดลองกับค่าความแข็งที่ได้จากการพยากรณ์จาก สมการการทดลอง

ทำการเปรียบเทียบค่าความแข็งที่ได้จากการทดลอง กับค่าความแข็งที่ได้จากการพยากรณ์ ซึ่งมาจากการ สมการทดลอง ว่ามีความแตกต่างกันหรือไม่ โดยใช้ค่าสถิติ t-test ซึ่งถ้าพบว่าค่าการ ทดลองและค่าจากการพยากรณ์ไม่มีความแตกต่างกันทางสถิติ แสดงว่าสามารถนำสมการทดลอง ไปพยากรณ์ค่าความแข็งที่อุณหภูมิและเวลาต่างๆ ได้

3.5 สรุปผลการทดลอง

นำผลที่ได้จากการเฝ้าดูความสัมพันธ์ของอุณหภูมิและเวลาทำการสรุปผลเบร์ยนเทียบกับทฤษฎีในบทที่ 2 คือ ทฤษฎีวิเคราะห์ความแปรปรวนแบบสองปัจจัย และทฤษฎีวิเคราะห์การทดลองของข้อมูล



บทที่ 4

ผลการทดสอบและวิเคราะห์

4.1 ผลการทดสอบความแข็ง

ผลการทดสอบความแข็งของเหล็ก AISI 4140 จำนวนทั้งหมด 19 ชิ้นงานทดสอบ ที่ผ่านการอบให้ความร้อนที่อุณหภูมิ 850 , 950 และ 1,050 องศาเซลเซียส เป็นเวลา 60 , 90 และ 120 นาที ได้ถ้าความแข็ง แสดงได้ดัง ตารางที่ 4.1 และ 4.2

ตารางที่ 4.1 ตารางบันทึกผลการทดสอบของการทดสอบที่ 1

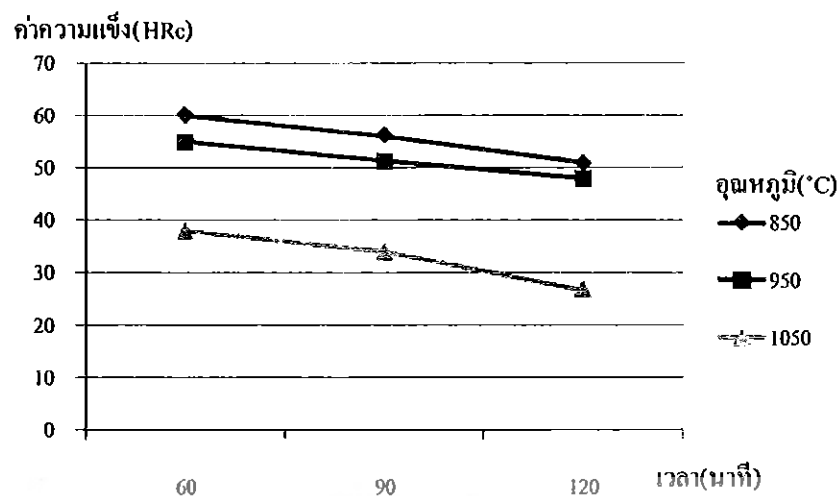
เวลา (นาที)	อุณหภูมิในการอบ (องศาเซลเซียส)	ค่าความแข็ง (HRc)				
		ค่าของ ชุดที่ 1	ค่าของชุด ที่ 2	ค่าของ ชุดที่ 3	ค่าของ ชุดที่ 4	ค่าของ ชุดที่ 5
60	850	60.1	59.8	60.1	60.3	59.6
	950	54.7	55.2	54.5	55.1	54.9
	1,050	38.1	37.8	37.3	38.2	38.0
90	850	56.1	56.3	55.8	56.0	56.3
	950	51.2	50.7	51.3	51.8	50.7
	1,050	32.9	34	34.4	33.7	34.5
120	850	51.2	50.8	49.9	51.5	50.5
	950	47.5	47.8	48.0	48.1	47.7
	1,050	26.5	26.6	27.1	27.0	26.8

ตารางที่ 4.2 ตารางบันทึกผลการทดสอบของการทดสอบที่ 2

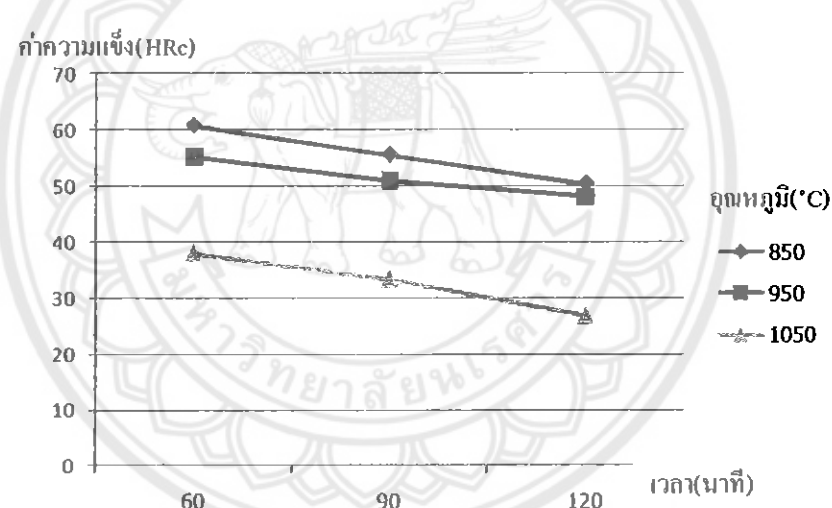
เวลา (นาที)	อุณหภูมิในการอบ (องศาเซลเซียส)	ค่าความแข็ง (HRc)				
		ค่าของ ชุดที่ 1	ค่าของ ชุดที่ 2	ค่าของ ชุดที่ 3	ค่าของ ชุดที่ 4	ค่าของ ชุดที่ 5
60	850	60.5	60.1	61.3	60.8	60.9
	950	55.5	55.6	55.2	54.2	55.4
	1,050	38.1	38.3	38.0	37.8	37.3
90	850	55.3	55.1	55.8	55.4	56.3
	950	51.0	51.9	50.1	50.8	51.0
	1,050	33.8	32.5	32.9	34.0	33.9
120	850	50.0	50.0	51.2	50.5	50.4
	950	48.3	47.8	47.9	48.2	48.3
	1,050	27.1	26.8	27.2	27.0	26.8

4.2 วิเคราะห์ความสัมพันธ์ของอุณหภูมิและเวลา

ค่าความแข็งที่ได้จากการทดสอบความแข็งของเหล็ก AISI 4140 ที่ผ่านการชุบแข็งที่อุณหภูมิ 850, 950 และ 1,050 องศาเซลเซียส เป็นเวลา 60, 90 และ 120 นาที ตามลำดับ สามารถแสดงเป็นกราฟความสัมพันธ์ระหว่างอุณหภูมิและเวลาที่ส่งผลต่อค่าความแข็งของเหล็ก AISI 4140 ดังรูปที่ 4.1 และ 4.2



รูปที่ 4.1 กราฟแสดงความสัมพันธ์ของอุณหภูมิและเวลาที่มีต่อค่าความแข็งของการหล่อที่ 1 ที่ผ่านการการชุบแข็ง



รูปที่ 4.2 กราฟแสดงความสัมพันธ์ของอุณหภูมิและเวลาที่มีต่อค่าความแข็งของการหล่อที่ 2 ที่ผ่านการการชุบแข็ง

จากรูปที่ 4.1 และ 4.2 จะพบว่าแนวโน้มของกราฟมีความสัมพันธ์เชิงเส้นตรงในลักษณะ แปรผกผัน คือ เมื่อเวลาและอุณหภูมิเพิ่มขึ้นค่าความแข็งก็จะมีลดลง ซึ่งตรงตามทฤษฎีที่ว่าเมื่อ อุณหภูมิสูงเหนือเส้น A₁ (850 องศาเซลเซียส) เหอร์ไรท์จะสถาบายนปัจฉนตัวหมุดคงเหลือแต่เฟส ออกไซเดนในที่ซึ่งจะมีการขยายตัวของเกรนเมื่ออุณหภูมิสูงขึ้นส่งผลให้ความแข็งลดลง และการที่ ปลดอยให้เหล็กอยู่ในเตาที่อุณหภูมิเหนือเส้น A₁ เป็นเวลานาน จะทำให้เกรนออกไซเดนในที่ขยายตัว ขึ้นเรื่อยๆ ส่งผลให้ความแข็งลดลง (มนัส สติรินดา, 2537)

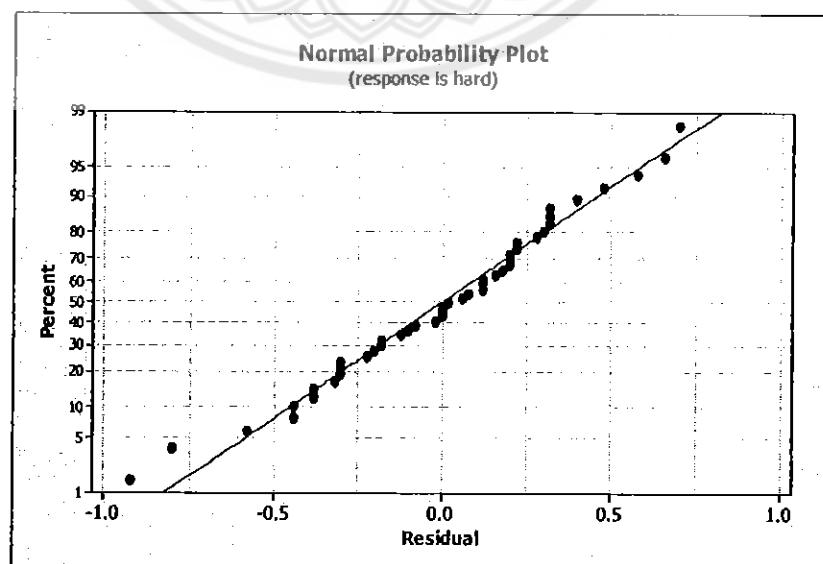
4.3 วิเคราะห์ข้อมูลเชิงสถิติ

4.3.1 การตรวจสอบข้อมูลผลการทดสอบและการวิเคราะห์ปัจจัยที่มีผลต่อค่าความแข็งของเหล็ก AISI 4140

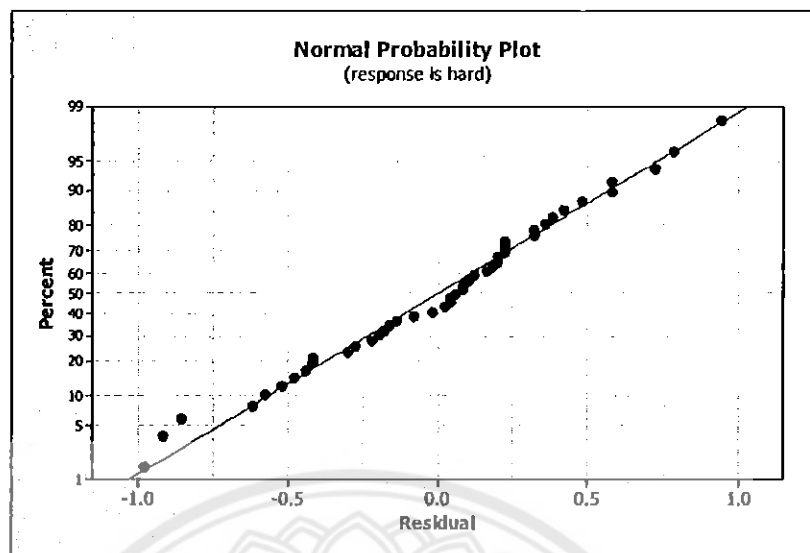
การนำข้อมูลมาวิเคราะห์ความแปรปรวน (ANOVA) ต้องทำการตรวจสอบคุณภาพของข้อมูลว่าได้ทำการเก็บมาจากสภาวะควบคุมหรือไม่ ด้วยการวิเคราะห์ความถูกต้องของแบบทดสอบ โดยวิเคราะห์ส่วนตokoถัง ส่วนตokoถังจะเป็นตัวสะท้อนถึงความผันแปรของข้อมูลที่ใช้ในการวิเคราะห์ โดยต้องพิจารณาว่าข้อมูลที่ได้จากการทดสอบมีความอิสระต่อ กัน อันเนื่องมาจากการสุ่มหรือไม่ ความเป็นอิสระของข้อมูลคือจากส่วนตokoถังของข้อมูล ต้องรูปแบบการกระจายที่ไม่แน่นอน แสดงว่าข้อมูลที่ได้มาจากการทดสอบมีความเป็นอิสระต่อ กัน รวมถึงข้อมูลที่ได้มาจากการทดสอบจะต้องเป็นการกระจายแบบปกติ ลักษณะของการกระจายแบบปกติของข้อมูลจะจากส่วนตokoถัง เมื่อนำส่วนตokoถังมาทำการพล็อตลงบน Normal Probability Plot และมีลักษณะเป็นเส้นตรง แสดงว่าข้อมูลที่ได้จากการทดสอบมีลักษณะเป็นการกระจายแบบปกติ (จรรัตน์ ธีรวรา พฤกษ์, IE net work 2007)

4.3.1.1 การตรวจสอบการกระจายแบบแรกแจ้งปกติ

จากราฟในรูปที่ 4.3 และ 4.4 พบว่าค่าตokoถัง (Residual) ของค่าความแข็งของชิ้นงานทำการทดสอบ ที่แสดงบน Normal Probability มีลักษณะเป็นเส้นตรง แสดงว่าข้อมูลที่ได้จากการทดสอบมีลักษณะเป็นการกระจายแบบปกติ (พงศ์ชนัน พล่องไพบูลย์, 2551)



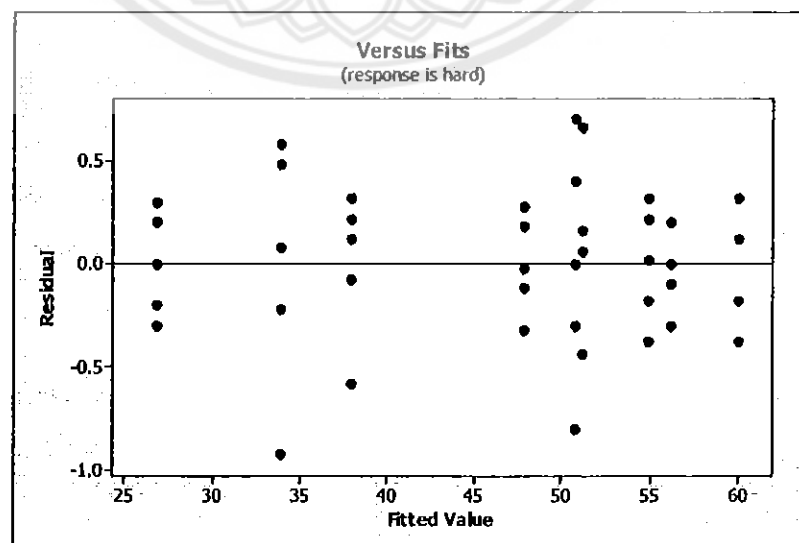
รูปที่ 4.3 แสดงค่า Normal Probability Plot for Hardness ของการทดสอบที่ 1



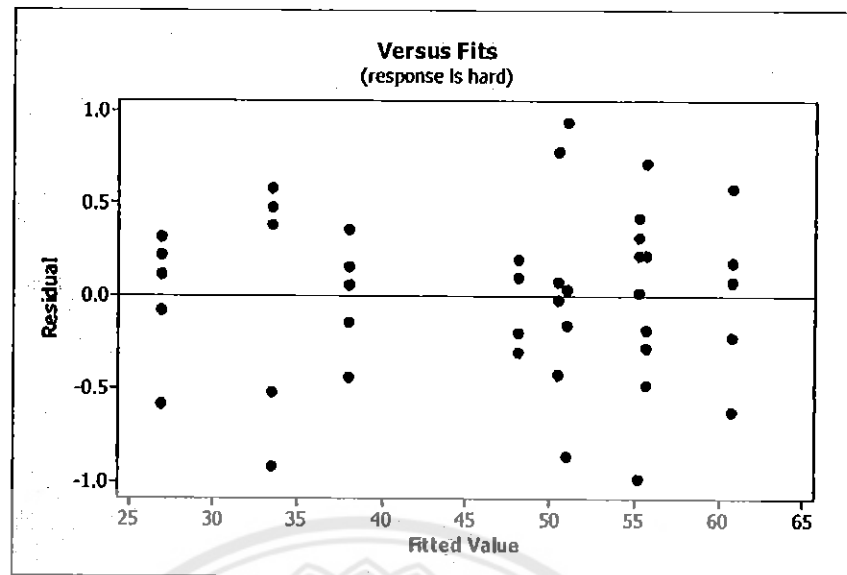
รูปที่ 4.4 แสดงค่า Normal Probability Plot for Hardness ของการทดลองที่ 2

4.3.1.2 การตรวจสอบความเสถียรของความแปรปรวน

จากกราฟรูปที่ 4.5 และ 4.6 พนว่าส่วนตอค้างของข้อมูลมีการกระจายที่ไม่แน่นอน และเรียงตัวกันอยู่ภายใต้แนวโน้มของอนรอนๆ 0 และเป็นในลักษณะเป็นเส้นตรงและไม่พนว่าส่วนตอค้าง (Residual) มีแนวโน้มการกระจายหูปทรงอื่นๆ เช่น ในลักษณะลำโพง จึงสามารถสรุปได้ว่า ข้อมูลที่ได้จากการทดลองมีความเสถียรของความแปรปรวน (พงศ์ชนัน พลเมืองไพบูลย์, 2551)



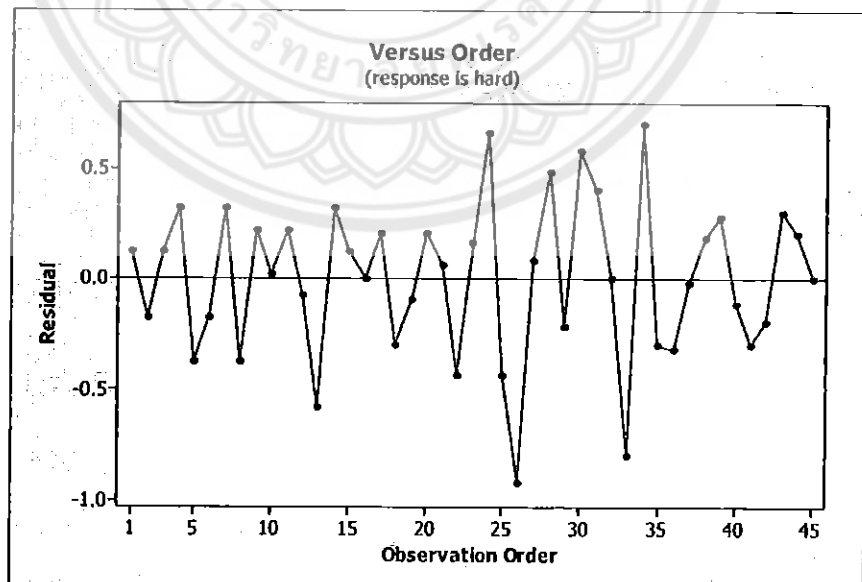
รูปที่ 4.5 แสดงค่าส่วนตอค้างกับจำนวนข้อมูลของการทดลองที่ 1



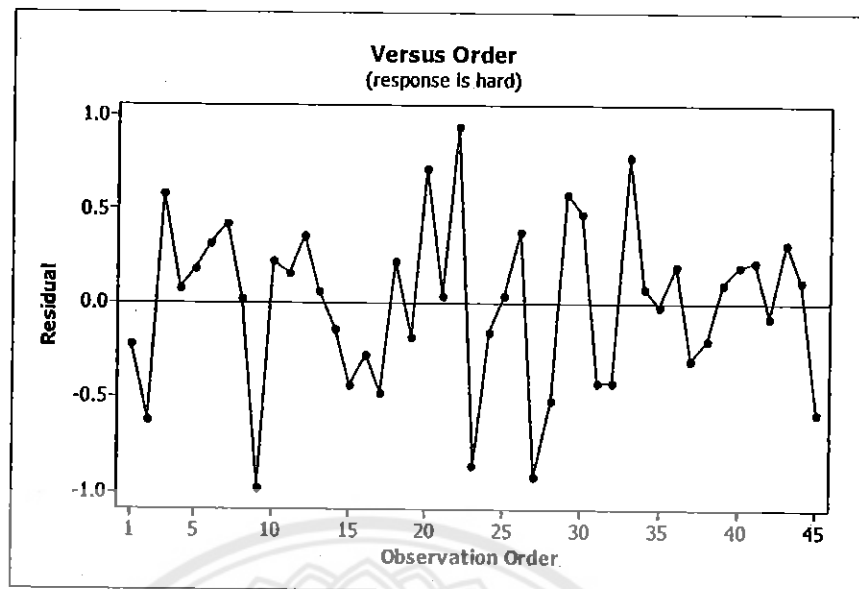
รูปที่ 4.6 แสดงแสดงค่าส่วนตอค้างกับจำนวนข้อมูลของการทดลองที่ 2

4.3.1.3 การตรวจสอบความเป็นอิสระของข้อมูล

จากกราฟรูปที่ 4.7 และ 4.8 พบว่าส่วนตอค้าง (Residual) ของข้อมูลการทดลอง มีการกระจายอยู่รอบๆ เส้นศูนย์และส่วนตอค้าง (Residual) มีลักษณะเรียงตัวขึ้นๆ ลงๆ รอบเส้นศูนย์อ่างไม้มีแบบแผนที่แน่นอน แสดงว่ามีความเป็นอิสระของข้อมูล (วิรชช พานิชวงศ์, 2545)



รูปที่ 4.7 แสดงค่าส่วนตอค้างกับค่าเฉลี่ยค่าความแข็งของการทดลองที่ 1



รูปที่ 4.8 แสดงค่าส่วนตกลงกับค่าเฉลี่ยค่าความแปรปรวนของการทดลองที่ 2

4.3.2 การทดสอบความแปรปรวนของข้อมูล

การทดสอบความแปรปรวนของปัจจัย คือ อุณหภูมิและเวลาเพื่อหาข้อสรุปว่ามีผลต่อค่าความแปรปรวนของเหล็ก AISI 4140 ที่ผ่านการอบชุบหรือไม่ โดยทำการพิจารณาจากค่า t สำหรับค่าความแปรปรวนของเหล็ก AISI 4140 ที่ผ่านการอบชุบหรือไม่ โดยทำการทดสอบซึ่ง จะทำการปฏิเสธสมมติฐานหลัก (H_0) ถ้าค่า t มากกว่าค่า t ที่กำหนด ($\alpha=0.05$) และจะยอมรับสมมติฐานหลัก (H_0) ถ้าค่า t น้อยกว่าค่า t ที่กำหนด ($\alpha=0.05$)

ตารางที่ 4.3 การวิเคราะห์ความแปรปรวนของค่าความแปรปรวนของการทดลองที่ 1 ที่ผ่านการชุบแข็ง

Source	Sum of Squares	Degree of Freedom	Mean Square	F	P-value
TEMP	4379.81	2	2189.90	14302.72	0.000
TIME	626.79	2	313.40	2046.85	0.000
TEMP * TIME	25.56	4	6.39	41.74	0.000
Error	5.51	36	0.15		
Total	5037.68	44			

จากตารางการวิเคราะห์ความแปรปรวนของค่าความแปรปรวนของการทดลองที่ 1 ที่ผ่านการชุบแข็งของการทดลองที่ 1 ที่ระดับนัยสำคัญ 0.05 สรุปได้ว่า

สมนติฐานคือ

1) ตรวจสอบอิทธิพลของปัจจัยที่ 1 คือ เวลา มีอิทธิพลต่อค่าความแข็งของเหล็ก AISI 4140 ที่ผ่านการชุบแข็ง หรือไม่

สมนติฐานหลัก H_0 คือ เวลาในการอบให้ความร้อนชิ้นงานไม่มีผลต่อค่าความแข็ง

สมนติฐานรอง H_1 คือ เวลาในการอบให้ความร้อนชิ้นงานมีผลต่อค่าความแข็ง

จากตารางที่ 4.3 พบว่าค่า n สำหรับค่า P -value จากการทดสอบ (P -value) มีค่าเท่ากับ 0.000 ซึ่งน้อยกว่าค่าระดับนัยสำคัญที่กำหนด (0.05) ทำให้ปฏิเสธ H_0 และยอมรับ H_1 จึงสรุปได้ว่า เวลาในการอบให้ความร้อนมีอิทธิพลต่อค่าความแข็งของเหล็ก AISI 4140 ซึ่งทำให้ความแข็งของเหล็ก AISI 4140 เปลี่ยนไป เมื่อเวลาในการอบชิ้นงานเปลี่ยนไปที่ระดับนัยสำคัญ 0.05

2) ตรวจสอบอิทธิพลของปัจจัยที่ 2 คือ อุณหภูมิ มีอิทธิพลต่อค่าความแข็งของเหล็ก AISI 4140 ที่ผ่านการชุบแข็ง หรือไม่

สมนติฐานหลัก H_0 คือ อุณหภูมิในการอบให้ความร้อนชิ้นงานไม่มีผลต่อค่าความแข็ง

สมนติฐานรอง H_1 คือ อุณหภูมิในการอบให้ความร้อนชิ้นงานมีผลต่อค่าความแข็ง

จากตารางที่ 4.3 พบว่าค่า n สำหรับค่า P -value จากการทดสอบ (P -value) มีค่าเท่ากับ 0.000 ซึ่งน้อยกว่าค่าระดับนัยสำคัญที่กำหนด (0.05) ทำให้ปฏิเสธ H_0 และยอมรับ H_1 จึงสรุปได้ว่า อุณหภูมิในการอบให้ความร้อนมีอิทธิพลต่อค่าความแข็งของเหล็ก AISI 4140 ซึ่งทำให้ความแข็งของเหล็ก AISI 4140 เปลี่ยนไป เมื่ออุณหภูมิในการอบชิ้นงานเปลี่ยนไปที่ระดับนัยสำคัญ 0.05

3) ตรวจสอบอิทธิพลของปัจจัยที่ 3 คือ อุณหภูมิและเวลา มีอิทธิพลต่อค่าความแข็งของเหล็ก AISI 4140 ที่ผ่านการชุบแข็ง หรือไม่

สมนติฐานหลัก H_0 คือ อุณหภูมิและเวลาในการอบให้ความร้อนชิ้นงานไม่มีผลต่อค่าความแข็ง

สมนติฐานรอง H_1 คือ อุณหภูมิและเวลาในการอบให้ความร้อนชิ้นงานมีผลต่อค่าความแข็ง

จากตารางที่ 4.3 พบว่าค่า n สำหรับค่า P -value จากการทดสอบ (P -value) มีค่าเท่ากับ 0.000 ซึ่งน้อยกว่าค่าระดับนัยสำคัญที่กำหนด (0.05) ทำให้ปฏิเสธ H_0 และยอมรับ H_1 จึงสรุปได้ว่า อุณหภูมิและเวลาในการอบให้ความร้อนมีอิทธิพลต่อค่าความแข็งของเหล็ก AISI 4140 ซึ่งทำให้ความแข็งของเหล็ก AISI 4140 เปลี่ยนไป เมื่ออุณหภูมิและเวลาในการอบชิ้นงานเปลี่ยนไปที่ระดับนัยสำคัญ 0.05

ตารางที่ 4.4 การวิเคราะห์ความแปรปรวนของค่าความแข็งของการทดสอบที่ 2 ที่ผ่านการชุบแข็ง

Source	Sum of Squares	Degree of Freedom	Mean Square	F	P-value
TEMP	4434.03	2	2217.02	9332.62	0.000
TIME	674.16	2	337.08	1418.94	0.000
TEMP * TIME	27.14	4	6.78	28.56	0.000
Error	8.55	36	0.24		
Total	5143.88	44			

จากตารางการวิเคราะห์ความแปรปรวนของค่าความแข็งของการทดสอบที่ 2 ที่ผ่านการชุบแข็งของเหล็ก AISI 4140 ที่ระดับความเชื่อมั่น 0.05 สรุปได้ว่า สมมติฐานกือ

1) ตรวจสอบอิทธิพลของปัจจัยที่ 1 คือ เวลา มีอิทธิพลต่อค่าความแข็งของเหล็ก AISI 4140 ที่ผ่านการชุบแข็ง หรือไม่

สมมติฐานหลัก H_0 คือ เวลาในการอบให้ความร้อนชิ้นงานไม่มีผลต่อค่าความแข็ง สมมติฐานรอง H_1 คือ เวลาในการอบให้ความร้อนชิ้นงานมีผลต่อค่าความแข็ง จากตารางที่ 4.4 พบว่าค่า P-value ของอิทธิพลต่อค่าความแข็งของเหล็ก AISI 4140 ซึ่งเท่ากับ 0.000 ซึ่งน้อยกว่าค่าระดับนัยสำคัญที่กำหนด (0.05) ทำให้ปฏิเสธ H_0 และยอมรับ H_1 จึงสรุปได้ว่า เวลาในการอบให้ความร้อนมีอิทธิพลต่อค่าความแข็งของเหล็ก AISI 4140 ซึ่งทำให้ความแข็งของเหล็ก AISI 4140 เปลี่ยนไป เมื่อเวลาในการอบชิ้นงานเปลี่ยนไปที่ระดับนัยสำคัญ 0.05

2) ตรวจสอบอิทธิพลของปัจจัยที่ 2 คือ อุณหภูมิ มีอิทธิพลต่อค่าความแข็งของเหล็ก AISI 4140 ที่ผ่านการชุบแข็ง หรือไม่

สมมติฐานหลัก H_0 คือ อุณหภูมิในการอบให้ความร้อนชิ้นงานไม่มีผลต่อค่าความแข็ง สมมติฐานรอง H_1 คือ อุณหภูมิในการอบให้ความร้อนชิ้นงานมีผลต่อค่าความแข็ง

จากตารางที่ 4.4 พบว่าค่า P-value ของอิทธิพลต่อค่าความแข็งของเหล็ก AISI 4140 ซึ่งเท่ากับ 0.000 ซึ่งน้อยกว่าค่าระดับนัยสำคัญที่กำหนด (0.05) ทำให้ต้องปฏิเสธ H_0 และยอมรับ H_1 จึงสรุปได้ว่า อุณหภูมิในการอบให้ความร้อนมีอิทธิพลต่อค่าความแข็งของเหล็ก AISI 4140 ซึ่งทำให้ความแข็งของเหล็ก AISI 4140 เปลี่ยนไป เมื่ออุณหภูมิในการอบชิ้นงานเปลี่ยนไปที่ระดับนัยสำคัญ 0.05

3) ตรวจสอบอิทธิพลของปัจจัยที่ 3 คือ อุณหภูมิและเวลา มีอิทธิพลต่อค่าความแข็งของเหล็ก AISI 4140 ที่ผ่านการชุบแข็ง หรือไม่

สมมติฐานหลัก H_0 คือ อุณหภูมิและเวลาในการอบให้ความร้อนชิ้นงานไม่มีผลต่อค่าความแข็ง

สมมติฐานรอง H_1 คือ อุณหภูมิและเวลาในการอบให้ความร้อนชิ้นงานมีผลต่อค่าความแข็ง

จากตารางที่ 4.4 พบว่าค่า n สำหรับค่า P -value นี้ค่าเท่ากัน 0.000 ซึ่งน้อยกว่าค่าระดับนัยสำคัญที่กำหนด (0.05) ทำให้ต้องปฏิเสธ H_0 และยอมรับ H_1 จึงสรุปได้ว่า อุณหภูมิและเวลาในการอบให้ความร้อนมีอิทธิพลต่อความแข็งของเหล็ก AISI 4140 ซึ่งทำให้ความแข็งของเหล็ก AISI 4140 เปลี่ยนไป เมื่ออุณหภูมิและเวลาในการอบชิ้นงานเปลี่ยนไปที่ระดับนัยสำคัญ 0.05

4.3.3 การวิเคราะห์การลดด้อย

4.3.3.1 การวิเคราะห์การลดด้อยของค่าความแข็งของเหล็ก AISI 4140 ที่ผ่านการชุบแข็งของการทดลองที่ 1

เมื่อนำค่าความแข็งวิเคราะห์ในโปรแกรมสำเร็จรูปทางสถิติเพื่อนำไปใช้ในการพยากรณ์ค่าความแข็ง จะได้ผลดังนี้

ตารางที่ 4.5 การวิเคราะห์การลดด้อยของค่าความแข็งของเหล็ก AISI 4140 ที่ผ่านการชุบแข็งของการทดลองที่ 1

Predictor	Coef.	P - value
Constant	154.82	0.000
temp	-0.09955	0.000
time	-0.0014	0.009
temp*time	-0.0001583	0.005
Std. Error of the Estimate = 3.58196		
R-Sq = 89.6%		

จากตารางวิเคราะห์การลดด้อยของค่าความแข็งของเหล็ก AISI 4140 ที่ผ่านการชุบแข็งของการทดลองที่ 1 สรุปได้ว่า

ค่า R Square หรือค่าสัมประสิทธิ์การตัดสินใจมีค่าเท่ากัน 89.6% เพิ่ากล้ 100% แสดงว่าอุณหภูมิและเวลา มีความสัมพันธ์กันค่อนข้างสูง ดังนั้น สมการลดด้อยมีความเหมาะสมที่จะนำไปใช้งานได้มาก

ค่า Std. Error of the Estimate หรือ ค่าความคลาดเคลื่อนของการพยากรณ์ นี้ค่าเท่ากับ 3.58196 หมายความว่า ค่าของความแข็งจะมีความคลาดเคลื่อนด้วยตัวแปรอิสระชั้นๆ ประมาณ 3.58196 HRc

จากการคำนวณค่าการถดถอยของตัวแปร อุณหภูมิกับเวลา ที่มีผลต่อกำลังแข็งจะสามารถสรุปรูปแบบความสัมพันธ์เป็นสมการถดถอยเชิงพหุที่ระดับนัยสำคัญที่ 95% ดังสมการด้านไปนี้

$$\text{hardness} = 154.82 - 0.001 \text{ time} - 0.0996 \text{ temp} - 0.000158 \text{ time} * \text{temp}$$

โดยที่	$\text{hardness} = \text{ค่าความแข็ง (HRc)}$
temp	= ค่าของอุณหภูมิ ($^{\circ}\text{C}$) สำหรับช่วง $850 - 1,050 ^{\circ}\text{C}$
time	= ค่าของเวลา (นาที) สำหรับช่วง $60 - 120$ นาที

4.3.3.2 การวิเคราะห์การถดถอยของค่าความแข็งของเหล็ก AISI 4140 ที่ผ่านการชุบแข็งของการทดลองที่ 2

เมื่อนำค่าความแข็งวิเคราะห์ในโปรแกรมสำเร็จรูปทางสถิติเพื่อนำมาใช้ในการพยากรณ์ค่าความแข็ง จะได้ผลดังนี้

ตารางที่ 4.6 การวิเคราะห์การถดถอยของค่าความแข็งของเหล็ก AISI 4140 ที่ผ่านการชุบแข็งของการทดลองที่ 2

Predictor	Coef.	P - value
Constant	163.81	0.000
temp	-0.10843	0.000
time	-0.0978	0.012
temp*time	-0.0000633	0.010
Std. Error of the Estimate	= 3.69971	
R-Sq	= 89.1%	

จากการวิเคราะห์การถดถอยของค่าความแข็งของเหล็ก AISI 4140 ที่ผ่านการชุบแข็งของการทดลองที่ 2 สรุปได้ว่า

ค่า R Square หรือค่าสัมประสิทธิ์การตัดสินใจมีค่าเท่ากับ 89.1% เข้าใกล้ 100% แสดงว่าอุณหภูมิและเวลา มีความสัมพันธ์กันค่อนข้างสูง ดังนั้น สมการถดถอยมีความเหมาะสมที่จะนำไปใช้งานได้มาก

ค่า Std. Error of the Estimate หรือ ค่าความคลาดเคลื่อนของการพยากรณ์ มีค่าเท่ากับ 3.69971 หมายความว่า ค่าของความแข็งจะมีความคลาดเคลื่อนด้วยค่าวัปริสระอีก ประมาณ 3.69971 HRc

จากการคำนวณค่าการทดสอบของตัวแปร อุณหภูมิกับเวลา ที่มีผลต่อความแข็ง จะสามารถสรุปรูปแบบความสัมพันธ์เป็นสมการทดสอบเชิงพหุที่ระดับนัยสำคัญที่ 95% ดังสมการต่อไปนี้

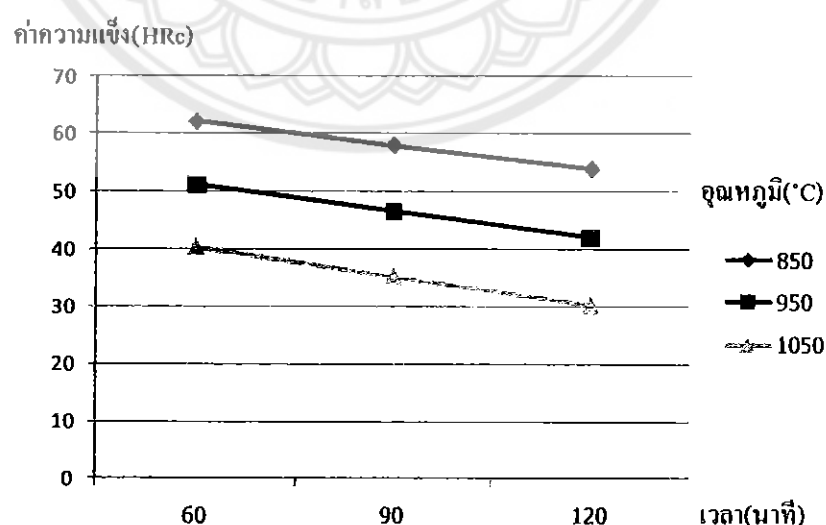
$$\text{hardness} = 163.81 - 0.098 \text{ time} - 0.108 \text{ temp} - 0.000063 \text{ time} * \text{temp}$$

โดยที่	hardness = ค่าความแข็ง (HRc)
temp	= ค่าของอุณหภูมิ ($^{\circ}\text{C}$) สำหรับช่วง 850 – 1,050 $^{\circ}\text{C}$
time	= ค่าของเวลา (นาที) สำหรับช่วง 60 – 120 นาที

4.3.4 เปรียบเทียบค่าความแข็งที่ได้จากการทดลองกับค่าความแข็งที่ได้จากการพยากรณ์จากสมการการทดสอบ ของการทดลองที่ 1

เมื่อได้สมการการทดสอบมาแล้ว ทำการแทนค่าข้อมูลข้อมูลอุณหภูมิและเวลาที่ได้กำหนดไว้ในการทดลอง เพื่อเปรียบเทียบว่าค่าความแข็งจากการทดลองแตกต่างกันหรือไม่กับค่าความแข็งพยากรณ์ (คำนวณจากสมการทดสอบ) จะได้ค่าความแข็งพยากรณ์จำนวน 45 ค่า

จากการทดสอบ สามารถนำค่าของความแข็งจากการพยากรณ์ (คำนวณจากสมการทดสอบ) สร้างกราฟแสดงความสัมพันธ์ของอุณหภูมิและเวลาได้ดังรูปที่ 4.9



รูปที่ 4.9 กราฟแสดงค่าความแข็งจากการพยากรณ์ของชิ้นงานที่ผ่านการชุนแข็งของการทดลองที่ 1

ทำการเปรียบเทียบความแตกต่างของค่าความเบี่ยงจากการทดสอบและค่าความเบี่ยงจากการพยากรณ์ ด้วยวิธี t-test

ขั้นตอนการทดสอบสมมติฐาน

1) ตั้งสมมติฐาน

H_0 : ค่าเฉลี่ยของค่าความเบี่ยงทั้ง 2 กลุ่มไม่แตกต่างกัน คือ $\mu_1 = \mu_2$

H_1 : ค่าเฉลี่ยของค่าความเบี่ยงทั้ง 2 กลุ่มแตกต่างกัน คือ $\mu_1 \neq \mu_2$

2) กำหนดระดับนัยสำคัญของการทดสอบ $\alpha = 0.05$

3) เลือกด้วยสถิติที่เหมาะสม

ความแปรปรวนของค่าความเบี่ยงทั้ง 2 กลุ่ม $\sigma_1^2 = \sigma_2^2$

$$\text{ตัวสถิติ : } t = \frac{\sum D}{\sqrt{\frac{N \sum D^2 - (\sum D)^2}{N-1}}}$$

$$t = \frac{-8.545}{\sqrt{\frac{(45)(527.7) - 73.017}{45-1}}}$$

$$t = -0.368$$

4) สร้างกฎการตัดสินใจ นั่นคือ ปฏิเสธ H_0 ถ้า $|t_{(\text{ตัวน้ำ)}| > t_{(\text{ตัวจริง})} [0.05,45] \approx 1.679$

หรือ $|t_{(\text{ตัวน้ำ})}| < -t_{(\text{ตัวจริง})} [0.05,45] \approx -1.679$ (ค่าได้จากตาราง I)

5) คำนวณค่าสถิติจากกลุ่มตัวอย่าง ค่า $t = -0.368$

6) ตัดสินและตีความ $t_{(\text{ตัวน้ำ})}$ คือ $-0.368 > t_{(\text{ตัวจริง})}$ คือ -1.679 ดังนั้นจึงยอมรับ H_0 และ

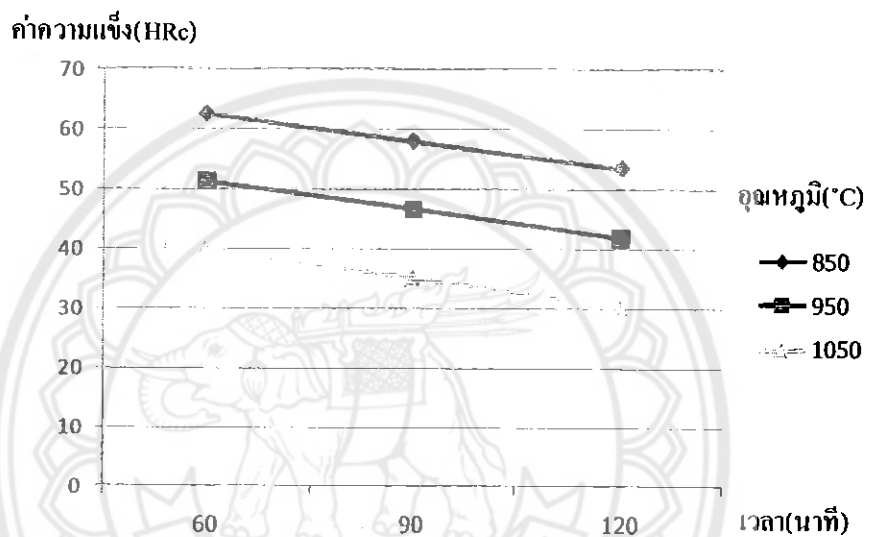
ปฏิเสธ H_1 ให้ผลว่า ค่าความเบี่ยงของทั้งสองกลุ่มไม่แตกต่างกันอย่างมีนัยสำคัญที่ระดับ 0.05

เมื่อเปรียบเทียบความแตกต่างของค่าความเบี่ยงจากการทดสอบและค่าความเบี่ยงจากการพยากรณ์แล้ว จะเห็นว่าค่าความเบี่ยงทั้งสองกลุ่มไม่มีความแตกต่างกันที่ระดับนัยสำคัญ 0.05 ซึ่งหมายความว่า ข้อมูลที่ได้จากการทดสอบและข้อมูลจากการพยากรณ์ซึ่งได้จากการทดสอบนั้น สอดคล้องกัน และสามารถนำส่วนการทดสอบนี้มาคำนวณหาค่าความเบี่ยงพยากรณ์ และนำไปใช้ในการพยากรณ์ค่าความเบี่ยงในงานด้านอุตสาหกรรมการผลิตเหล็กได้อย่างถูกต้อง

4.3.5 เปรียบเทียบค่าความแข็งที่ได้จากการทดสอบกับค่าความแข็งที่ได้จากการพยากรณ์จากสมการการทดสอบของการทดสอบที่ 2

เมื่อได้สมการทดสอบแล้ว ทำการแทนค่าข้อมูลของอุณหภูมิและเวลาที่ได้กำหนดไว้ในการทดสอบ เพื่อเปรียบเทียบว่าค่าความแข็งจากการทดสอบแตกต่างกันหรือไม่กับค่าความแข็งพยากรณ์ (คำนวณจากสมการทดสอบ) จะได้ค่าความแข็งพยากรณ์จำนวน 45 ค่า

จากสมการทดสอบ สามารถนำค่าของความแข็งจากการพยากรณ์ (คำนวณจากสมการทดสอบ) สร้างกราฟแสดงความสัมพันธ์ของอุณหภูมิและเวลาได้ดังรูปที่ 4.10



รูปที่ 4.10 กราฟแสดงค่าความแข็งจากการพยากรณ์ของชิ้นงานที่ผ่านการชุบแข็งของการทดสอบที่ 2

ทำการเปรียบเทียบความแตกต่างของค่าความแข็งจากการทดสอบและค่าความแข็งจากการพยากรณ์ ด้วยวิธี t-test

ขั้นตอนการทดสอบสมมติฐาน

1) ตั้งสมมติฐาน

H_0 : ค่าเฉลี่ยของค่าความแข็งทั้ง 2 กลุ่มเท่ากัน คือ $\mu_1 = \mu_2$

H_1 : ค่าเฉลี่ยของค่าความแข็งทั้ง 2 กลุ่มแตกต่างกัน คือ $\mu_1 \neq \mu_2$

2) กำหนดระดับนัยสำคัญของการทดสอบ $\alpha = 0.05$

3) เลือกตัวสถิติที่เหมาะสม

ความแปรปรวนของค่าความแข็งเท่ากัน คือ $\sigma_1^2 = \sigma_2^2$

$$\text{ตัวสถิติ} : t = \frac{\sum D}{\sqrt{\frac{N \sum D^2 - (\sum D)^2}{N-1}}}$$

$$t = \frac{-9.145}{\sqrt{\frac{(45)(566) - 83.631}{45-1}}}$$

$$t = -0.381$$

4) สร้างกราฟการตัดสินใจ นั่นคือ ปฏิเสธ H_0 ถ้า $|t_{(กําแพง)}| > t [0.05,45] \approx 1.679$

หรือ $t_{(กําแพง)} < -t [0.05,45] \approx -1.679$ (ค่าได้จากตาราง t)

5) คำนวณค่าสถิติจากกลุ่มตัวอย่าง ค่า t = -0.381

6) ตัดสินและตีความ $t_{(กําแพง)} = -0.381 > t_{(กําแพง)} = -1.679$ ดังนั้นจึงยอมรับ H_0 และปฏิเสธ H_1 ให้ผลว่าค่าความแข็งของหั้งสองกลุ่มไม่แตกต่างกันอย่างมีนัยสำคัญที่ระดับ 0.05

เมื่อเปรียบเทียบความแตกต่างของค่าความแข็งจากการทดลองและค่าความแข็งจากการพยากรณ์แล้ว จะเห็นว่าค่าความแข็งหั้งสองกลุ่มไม่มีความแตกต่างกันที่ระดับนัยสำคัญ 0.05 ซึ่งหมายความว่า ข้อมูลที่ได้จากการทดลองและข้อมูลจากการพยากรณ์ซึ่งได้จากการทดสอบนั้น สอดคล้องกัน และสามารถนำสมการลด扣บนี้มาคำนวณหาค่าความแข็งพยากรณ์และนำไปใช้ในการพยากรณ์ค่าความแข็งในงานค้านอุตสาหกรรมการผลิตเหล็กได้อย่างถูกต้อง

บทที่ 5

บทสรุปและข้อเสนอแนะ

5.1 สรุปผล

จากการศึกษาอิทธิพลของอุณหภูมิและเวลาในการอบให้ความร้อนที่มีต่อค่าความแข็งของเหล็ก AISI 4140 ที่ผ่านการชุบแข็งสรุปผลการศึกษาได้ดังนี้

5.1.1 เมื่อนำเหล็ก AISI 4140 ที่ผ่านการอบให้ความร้อนที่อุณหภูมิ 850, 950 และ 1,050 องศาเซลเซียส และที่เวลา 60, 90 และ 120 นาที นำมาแสดงผลในรูปของกราฟความสัมพันธ์ระหว่าง อุณหภูมิและเวลา กับค่าความแข็งของเหล็ก AISI 4140 จะพบว่าลักษณะกราฟที่ได้มีแนวโน้มของ ความสัมพันธ์ในเชิงเส้นตรง

5.1.2 นำข้อมูลค่าความแข็งจากการทดลองมาตรวจสอบเพื่อพิจารณาว่าข้อมูลชุดนี้มีความ น่าเชื่อถือพอที่จะนำมาทำการวิเคราะห์เชิงสถิติหรือไม่ โดยการตรวจสอบการกระจายแบบแจกแหน ปกติ ตรวจสอบความเป็นอิสระของข้อมูล และการตรวจสอบความเสถียรของความแปรปรวน ซึ่ง ผลจากการตรวจสอบให้ผลในทิศทางเดียวกัน คือ ข้อมูลชุดนี้มีความน่าเชื่อถือพอที่จะนำไป วิเคราะห์เชิงสถิติ ที่ระดับนัยสำคัญ 0.05

5.1.3 ทดสอบความแปรปรวนของข้อมูลโดยใช้โปรแกรมสำเร็จรูปทางสถิติ โดยกำหนด สมนติฐานหลัก (H_0) คือ อุณหภูมิและเวลาในการอบให้ความร้อนชั้นงานไม่มีผลต่อค่าความแข็ง ของเหล็ก AISI 4140 และกำหนดสมนติฐานรอง (H_1) คือ อุณหภูมิและเวลาในการอบให้ความ ร้อนชั้นงานมีผลต่อค่าความแข็งของเหล็ก AISI 4140 ผลการทดสอบได้ค่านัยสำคัญจากการทดลอง เท่ากับ 0.000 ซึ่งน้อยกว่าระดับนัยสำคัญที่กำหนด (0.05) จึงปฏิเสธสมนติฐานหลัก ยอมรับสมนติ ฐานรอง สรุปได้ว่า อุณหภูมิและเวลาในการอบให้ความร้อนมีอิทธิพลต่อค่าความแข็งของเหล็ก AISI 4140 ที่ระดับนัยสำคัญ 0.05 หมายความว่า เมื่ออุณหภูมิและเวลาในการอบชั้นงานเปลี่ยนไป จะทำให้ความแข็งของเหล็ก AISI 4140 เปลี่ยนไปด้วย

5.1.4 วิเคราะห์การทดสอบของข้อมูลโดยใช้โปรแกรมสำเร็จรูปทางสถิติ ได้สมการดังนี้ $y = 154.82 - 0.001 \text{ time} - 0.0996 \text{ temp} - 0.000158 \text{ time} * \text{temp}$ มีสัมประสิทธิ์การตัดสินใจ เท่ากับ 89.6% แสดงว่า อุณหภูมิและเวลา มีความสัมพันธ์กันอย่างสูง ดังนั้น สมการดังนี้มี ความเหมาะสมที่จะนำไปใช้งานได้มาก

5.1.5 เปรียบเทียบค่าความแข็งที่ได้จากการทดลอง กับค่าความแข็งที่ได้จากการพยากรณ์จาก สมการการทดสอบ โดยทำการแทนค่าอุณหภูมิและเวลาที่ได้กำหนดไว้ในการทดลอง ลงในสมการ แล้วนำมาเปรียบเทียบความแตกต่างของค่าความแข็งจากการทดลองและค่าความแข็ง จากการพยากรณ์ด้วยวิธี t-test พบว่า ค่าความแข็งทั้งสองกลุ่ม ไม่มีความแตกต่างกันที่ระดับนัยสำคัญ

0.05 ดังนั้น สามารถสรุปได้ว่าสมการดังอย่างที่ได้จากโครงการวิจัยนี้มีความน่าเชื่อถือพอที่จะนำไปใช้งานในการหาความแข็งของเหล็กในด้านอุตสาหกรรมการผลิต

5.1.6 การใช้งานของเหล็ก AISI 4140 ที่ผ่านการชุบแข็ง ต้องการเหล็กที่มีคุณสมบัติความแข็ง และคุณสมบัติในการเสียดทาน หลังจากการศึกษาการฟื้นพันร์ความสัมพันธ์ระหว่างอุณหภูมิและเวลา กับค่าความแข็งของเหล็ก AISI 4140 พบว่าช่วงเวลาที่ 60 นาที และอุณหภูมิที่ 850 องศาเซลเซียส จะมีค่าความแข็งที่แข็งที่สุด และความแข็งจะลดลงเมื่อ เวลาและอุณหภูมิเพิ่มขึ้น จะทำให้ การอบในช่วงเวลา 65 – 120 นาที และในช่วงอุณหภูมิ 860 – 1,050 องศาเซลเซียส จะเป็นการ สลับเปลี่ยนพลังงานเกินความจำเป็น และไม่ก่อให้เกิดประบวน์ต่อค่าความแข็ง เพราะ การใช้งานเหล็ก AISI 4140 ที่ผ่านการชุบแข็ง ต้องการเหล็กที่มีความแข็งสูงๆ โดยที่เหล็ก AISI 4140 ก่อนการ ชุบแข็ง มีค่าความแข็งอยู่ที่ 18 – 22 HRC และเมื่อผ่านการชุบแข็งแล้วจะทำให้ค่าความแข็งเพิ่มขึ้น เป็น 55 – 60 HRC

5.2 ข้อเสนอแนะ

5.2.1 โปรแกรมสำเร็จรูปทางสอดคล้องที่ให้ในงานวิจัยนับ คือ Mini tab 15 เป็นโปรแกรมสำเร็จรูป ทางสอดคล้องที่มีข้อดี คือ ผลลัพธ์ของโปรแกรมที่ได้มีลักษณะที่แบ่งสัดส่วนชัดเจนเลือกค่าสอดคล้อง ใช้ได้สะดวก และใช้งานง่าย

5.2.2 ศึกษาเหล็กเกรด S45C, AISI 1045 เพิ่มเติม เพราะเหล็กเกรดเหล่านี้มีคุณสมบัติด้านความแข็งที่สูงและต่างเป็นเหล็กที่นิยมขายในห้องตลาดทั่วไป

5.2.3 งานวิจัยนับนี้จะกล่าวถึง การนำไปใช้งานด้านความแข็งของเหล็ก แต่ถ้าจะมีการนำ ชิ้นงานไปใช้ในงานที่ต้องการความหนาแน่นของหัวรือความทนแรงกระแทกของเหล็ก ก็ต้องมีการทดสอบคุณสมบัติ ด้านความหนาแน่นและการทนแรงกระแทกก่อน เพื่อให้ทราบว่าคุณสมบัติของ เหล็กเหมาะสมที่จะนำไปใช้งานหรือไม่

เอกสารอ้างอิง

- [1] William D. Callister, Jr. (2548). วัสดุศาสตร์และวิศวกรรมวัสดุพื้นฐาน. กรุงเทพฯ: บริษัท สำนักพิมพ์ห้อปี จำกัด.
- [2] การทดสอบความแข็งแบบรือคเวล. สืบค้นเมื่อวันที่ 6 สิงหาคม 2552 จาก http://www.geocities.com/chalong_sri/reg1.htm
- [3] ชาลิต เซียงกุล.(2542).โลหะวิทยา. (พิมพ์ครั้งที่ 2).กรุงเทพฯ: บริษัท ส. เอเชียพรส จำกัด.
- [4] พงษ์ชันน์ เหลืองไพบูลย์. (2546). เอกสารคำสอนการออกแบบการทดลอง. ภาควิชา วิศวกรรมศาสตร์ มหาวิทยาลัยธรรมศาสตร์.
- [5] พงษ์ชันน์ เเหลืองไพบูลย์. (2551). การออกแบบการทดลองและวิเคราะห์การทดลอง. กรุงเทพฯ: บริษัท สำนักพิมพ์ห้อปี จำกัด
- [6] แผนภูมิสมดุลเหล็ก-คาร์บอน. สืบค้นเมื่อวันที่ 5 สิงหาคม 2552 จาก <http://www.rmutphysics.com/.../metalswu/Picture2-3->
- [7] นานพ ตันตระบันฑิตชัย. (2537). งานทดสอบวัสดุอุตสาหกรรม. (พิมพ์ครั้งที่ 3). กรุงเทพฯ: บริษัท ประชาชน จำกัด.
- [8] มนัส สดรจินดา. (2537). วิศวกรรมการอบชุนเหล็ก. (พิมพ์ครั้งที่ 3). กรุงเทพฯ: โรงพิมพ์ จุฬาลงกรณ์มหาวิทยาลัย.
- [9] วิรชช พานิชวงศ์. (2545). การวิเคราะห์การทดลอง. (พิมพ์ครั้งที่ 4). กรุงเทพฯ: ศูนย์ผลิตตำราเรียน สถาบันเทคโนโลยีพระจอมเกล้าพระนครเหนือ.
- [10] เหล็ก AISI 4140. สืบค้นเมื่อวันที่ 5 สิงหาคม 2552 จาก http://www.efunda.com/materials/alloys/alloy_steeels